

T.C.  
ANADOLU ÜNİVERSİTESİ  
FEN BİLİMLERİ ENSTİTÜSÜ

**İKİ BOYUTLU TEK FAZLI PETROL  
REZERVUAR SİMÜLASYONU**

**YÜKSEK LİSANS TEZİ**

Çalışmayı Yöneten: Yard.Doç.Dr.Mustafa KARA

Yavuz Cabbar  
( Kimya Mühendisi )

**ESKİŞEHİR, 1985**

**TEŞEKKÜR**

Yüksek lisans çalışmalarım esnasında beni yönlendiren ve yardımalarını esirgemeyen hocam Yrd.Doç.Dr. Mustafa KARA'ya, bilgisayar çalışmalarımda yardımcı olan Anadolu Üniversitesi Bilgi İşlem Merkezi Müdürü Dr. Ali GÜNEŞ ve personeline, çalışmalarımda bana büyük destek olan H. CANAN'a ve aileme teşekkür etmeyi bir görev sayarım.

## ÖZET

Bu çalışmada iki boyutlu, tek fazlı ve yatiskın olmayan bir petrol rezervuarının matematiksel modeli geliştirilmiş ve elde edilen bu model iteratif olarak satırlarda ardışık düzeltmeler yöntemi ile çözülmüştür.

Çözüm için FORTRAN IV dilinde bir bilgisayar programı yazılmış ve bu program fiziksel özellikleri gerçeğe yakın olarak tanımlanan bir petrol rezervuari için başarıyla denenmiştir.

## ABSTRACT

In this work, a mathematical model of a two-dimensional, single-phase and unsteady state petroleum reservoir was developed. The mathematical model was solved by an iterative method, namely line successive over relaxation (LSOR).

A computer program was coded and successfully run in FORTRAN IV, to simulate a petroleum reservoir of which the physical properties were close to a real reservoir.

## İÇİNDEKİLER

	Sayfa
TEŞEKKÜR	i
ÖZET	ii
ABSTRACT	iii
İÇİNDEKİLER	iv
SEMBOLLER	vi
BÖLÜM 1 : GİRİŞ	1
BÖLÜM 2 : TEK FAZLI İKİ BOYUTLU PETROL REZERVUARININ MATEMATİKSEL MODELİ	6
2.1      Kütle Korunum Eşitliği	8
2.2      Akışkan Yoğunluğu ve Oluşum Porozitesi	11
BÖLÜM 3 : SONLU FARKLAR YÖNTEMİNİN UYGULANMASI	16
3.1      Türevlerin Sonlu Farklarla Yaklaşık Değerleri	16
3.2      Sonlu Farkların Poroz Ortamdaki Akıma Uygulanması	20
BÖLÜM 4 : ÇÖZÜM YÖNTEMİ	22
4.1      Jacobi Yöntemi	24
4.2      Gauss-Seidel Yöntemi	25
4.3      Ardışık Düzeltmeler Yöntemi	25
BÖLÜM 5 : MODELİN SATIRLarda ARDIŞIK DÜZELTME YÖNTEMİ İLE ÇÖZÜMÜ	30
5.1      Üç Köşegenli Matrisin Eide Edilişi	30
5.2      Kütle Denkliğinin Uygulanması	34

Sayfa

BÖLÜM 6 : ÇÖZÜMÜN BİLGİSAYAR PROGRAMI	35
6.1         Programın Açıklanması	35
6.2         Programın Uygulanması	39
BÖLÜM 7 : SONUÇ VE ÖNERİLER	42
EKLER	
1.           THOMAS YÖNTEMİ	44
2.           TRANSMİSSİBİLİTE TERİMLERİNİN HESAPLANMASI	46
3.           BİLGİSAYAR PROGRAM LİSTESİ VE DÖKÜMÜ	47
REFERANSLAR	78

SEMBOLLER

$A_x$	X yüzeyinin alanı, $\text{ft}^2$
$A_y$	Y yüzeyinin alanı, $\text{ft}^2$
B	Akışkanın hacimsel oluşum faktörü, $\text{ft}^3/(\text{ft}^3)_{ss}$
$B^o$	Akışkanın referans basınçtaki oluşum faktörü
$C_f$	Akışkanın sıkıştırılabilirliği, $1/\text{psia}$
$C_R$	Kayaç sıkıştırılabilirliği, $1/\text{psia}$
g	Yerçekimi ivmesi, $\text{ft}/\text{sn}^2$
h	Rezervuar yüksekliği, ft
i	X yönündeki blok indisı
j	Y yönündeki blok indisı
$K_x$	Oluşumun X yönündeki geçirgenliği, Darcy
$K_y$	Oluşumun Y yönündeki geçirgenliği, Darcy
k	İterasyon sayacı
$m_x$	X yönünde birim yüzeyden geçen kütle, $1\text{b}/\text{ft}^2.\text{sn}$
$m_y$	Y yönünde birim yüzeyden geçen kütle, $1\text{b}/\text{ft}^2.\text{sn}$
$T_x$	X yönündeki transmissibilite
$T_y$	Y yönündeki transmissibilite
$\Delta t$	Zaman dilimi
p	Basınç, psia
$p^o$	Referans basınç, psia
V	Rezervuar şartlarındaki akışkan hacmi, $\text{ft}^3$
$V^o$	Standart şartlardaki akışkan hacmi, $\text{ft}^3$
$V_b$	Rezervuar bloklarının hacmi, $\text{ft}^3$
q	Birim zamanda üretilen veya injekte edilen petrol (injeksiyon için pozitif işaretli), (varil) $ss/\text{gün}$
$q^*$	Birim zamanda, birim hacimde injekte edilen veya üretilen kütle (injeksiyon için pozitif işaretli), $1\text{b}/\text{ft}^3.\text{gün}$

$\Delta X$  X yönündeki blok uzunlukları, ft

$\Delta Y$  Y yönündeki blok uzunlukları, ft

Yunan Alfabesi

$\mu$  Akışkanın vizkozitesi, Cp

$u_x$  Akışkanın X yönündeki lineer hızı, ft/sn

$u_y$  Akışkanın Y yönündeki lineer hızı, ft/sn

$\rho$  Akışkanın yoğunluğu, lb/ft<sup>3</sup>

$\rho^o$  Akışkanın referans basıncındaki yoğunluğu, lb/ft<sup>3</sup>

$\rho(GS)$  Gauss-Seidel matrisinin spektral yarıçapı

$\rho(SOR)$  Ardışık düzeltmeler yönteminin spektral yarıçapı

$\phi$  Oluşum porozitesi

$\phi^o$  Referans basıncındaki porozite

$w$  Ardışık düzeltmeler yönteminin düzeltme faktörü

$w_{opt}$  Ardışık düzeltmeler yönteminin optimum düzeltme faktörü

## BÖLÜM 1

### GİRİŞ

Petrol, hızla gelişen teknolojiye paralel olarak hem enerji hem de petrokimyasal sentez kaynağı olarak büyük bir kullanım alanı bulmuştur. Ancak petrol rezervlerinin sonlu olması araştırmacıları petrolün büyük bir kısmını en uygun yöntemlerle üretebilme yollarını bulmaya zorlamıştır.

Petrol rezervlerinin içерdiği çok sayıdaki değişkeni bir arada incelemek oldukça güçtür. 1950 yıllarda bilgisayarlarla yazılım (software) ve donanım (hardware) teknolojilerinin petrol rezervuar mühendisliğinin ve rezervuar simülasyonunun gelişmesi ile petrol üretimini etkileyen birçok değişkeni bir arada inceleme imkanı ortaya çıkmıştır.

Petrol rezervuar sistemlerinin içerdeği değişkenler, akışkan ve kayaç özellikleri olarak sınıflandırılabilir.

#### Akışkan Özellikleri:

- 1- Hacimsel oluşum faktörü
- 2- Akışkan vizkozitesi
- 3- Akışkan sıkıştırılabilirliği
- 4- Fazlar arası denge ve kütle aktarımı

#### Kayaç Özellikleri ise

- 1- Geçirgenlik (permeability)
- 2- Porozite
- 3- Oluşum kalınlığı

- 4- Oluşum yüksekliği
- 5- Sıkıştırılabilirlik
- 6- Bağıl geçirgenlik (relative permeability)
- 7- Akışkan doygunluğu (fluid saturation)
- 8- Kapiler basınçtır.

Rezervuar simülasyonu, gerçek bir petrol rezervuarının durumunu o rezervuarın modelinden takip edebilmektir. Model bir laboratuvar boyutlarında fiziksel olabileceği gibi, matematiksel de olabilir. Matematiksel model, bir rezervuarada oluşan fiziksel işlemleri gerçege yakın olarak ifade eden bir kısmi diferansiyel denklem sistemi ile uygun başlangıç ve sınır hallerinden ibarettir.

Genel olarak rezervuar simülasyonu çalışmalarında aşağıda sıralanan basamaklara gerek duyulur:

1- Petrol üretimindeki fiziksel olayları matematik olarak ifade eden ve kütle ve enerji korunumu, akış ve durum (hal) eşitlikleri ile başlangıç ve sınır koşullarını içeren matematiksel model geliştirilir. Bu model genellikle kısmi diferansiyel ve cebrik denklem sistemidir.

2- Rezervuar sistemi bloklara bölünüp, matematiksel modelden elde edilen kısmi diferansiyel denklem sistemi, sonlu farklar (finite-difference) yöntemi ile cebirsel eşitliklere dönüştürülerek herbir blok için yazılır.

3- Matematiksel modelden elde edilen kısmi diferansiyel denklemlerin çözümünü analitik olarak bulmak bugün

icin hemen hemen imkansizdir. Buna karisti bugunun hızlı bilgisayarlarla ve geliştirilmiş nümerik metodlarla bu zorluk ortadan kaldırılmıştır. Böylelikle çok karmaşık rezervuarların matematik modellerinin yaklaşık çözümleri nümerik metodlarla kolayca yapılabilmektedir.

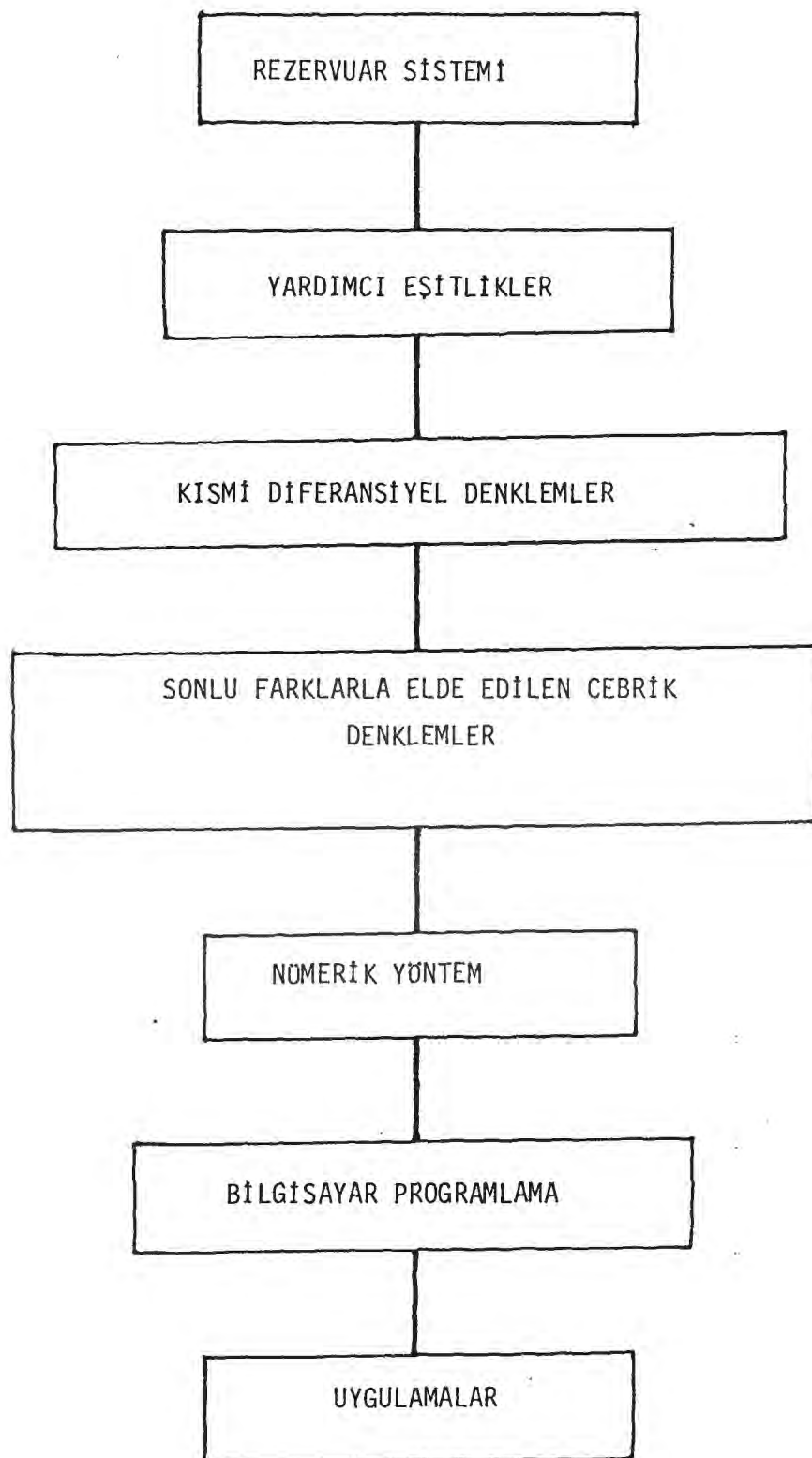
Buradan hareketle sistem için elde edilen cebirsel eşitlikleri çözebilmek için uygun bir sayısal (numerical) çözüm yöntemi tesbit edilir.

4- Çözüm yöntemi için bir bilgisayar programı geliştirilir ve geçerliliği denenir.

Yukarıdaki anlatım şematik olarak Şekil 1.1 de gösterilmiştir.

Rezervuar modelleri boyutlarına göre; bir, iki ve üç boyutlu modeller olarak sınıflandırılabilir. Bir boyutlu modeller, yeni üretim alanları için matematiksel modellerin geliştirilmesi, proses veriminde değişken etkilerinin hesaplanması ve bir boyutlu laboratuvar modellerinden elde edilen deneysel veriler ile matematiksel modelden elde edilen verilerin karşılaştırılmasında kullanılır. İki boyutlu modeller; inceleme problemleri ve gerçek alansal sürükleme çalışmaları ve üretimde kullanılır. Üç boyutlu modeller ise gerçek rezervuarlara en yakın olanıdır.

Bu çalışmada petrol rezervuarının sadece petrol fazından oluştugu ve akimin iki boyutta olduğu durum incelenmiştir. Tek faz akış, kütle korunum ve durum (hal) eşitlikleri



Sekil 1.1. Rezervuar Simülasyonu

gözönünde bulundurularak, doğrusal olmayan kısmi diferansiyel denklemle ifade edilen matematiksel model elde edilmiştir.

Matematiksel modelden elde edilen doğrusal olmayan kısmi diferansiyel denklem, sonlu farklar yöntemi ile cebirsel eşitlik sistemi haline dönüştürülmüş ve bu sistem bir iteratif matris çözüm yöntemi olan satırlarda ardışık düzeltmeler yöntemi (line successive over relaxation, LSOR) ile çözülmüştür. Sistemden elde edilen ve özel bir matris olan üç köşegenli matris (tridiagonal matrix) her iterasyonda Thomas yöntemi ile çözülmüştür.

Çözüm için FORTRAN IV dilinde geniş açıklamalı bir program yazılmış ve bu program IBM 4341 Bilgisayarında denenmiş ve başarılı olduğu görülmüştür.

## BÖLÜM 2

### TEK FAZLI İKİ BOYUTLU PETROL REZERVUARININ MATEMATİKSEL MODELİ

Poroz ortamdan akışkanların akımı; atmosfer, borular ve ırmaklardaki akışkanların akımına benzerler. Her ortamdaki akışkan akımını açıklayan kanunlar birbirine benzemekle beraber poroz ortamdan akan akışkanların akımı daha karmaşık-tır. Genellikle bu kanunlar; kütle, momentum ve enerjinin korunumu temeline dayanırlar.

Bird ve diğerleri {1}, Schlichting {2}, Monin ve Yağlom {3}, Bennet ve Myers {4} eserlerinde; kütle, momentum ve enerji ~~korunumunu~~ detaylı bir şekilde incelemiştir.

Darcy {5}, poroz ortamdan akışkan akımına yaribasit bir yaklaşımla momentumun korunumu eşitliğini uygulamıştır.

Muskat {6}, poroz, homojen ortamda sıkıştırılamayan akışkanların basit eşitliklerinin analitik çözümlerini yap-mıştır.

Polubarinova-Kochina {7}, yeraltı sularının akış denk-lemlerinin analitik çözümlerinin mümkün olduğunu göstermiştir.

Scheldegar {8}, poroz ortamdan akışkan akımının fi-ziksel yönünü inceleyerek, yeraltı rezervuarlarından petrol üretimi için gerekli denklemlerin seçim yöntemlerini öner-miştir.

Collins {9}, Amyx ve diğerleri {10}, petrol rezervuar mühendisliğinin teorik ve pratik yönlerini izah etmişlerdir.

Bear {11}, poroz ortamdaki akışkanların dinamik ve statığını beraberce incelemiştir.

ERCB {12}, poroz ortamdan akışkan akım teorisini gaz kuyularının test edilmesinde kullanmıştır.

Aziz ve Settari {13}, Crichlow {14} ve Peaceman {15}, petrol rezervuarı akışkan akım eşitliklerini, rezervuar simülasyon eşitliklerini ve değişik nümerik çözüm yöntemlerini incelemiştir.

El-Khatip {16}, poroz ortamdan çok fazlı, çok bileşenli akışkanların ısı ve kütle aktarımı, sıcaklık altında kimyasal reaksiyon ve faz dengelerini içeren bir model önermiştir.

Gochnour {17}, iki boyutlu, üç fazlı akışkan akımının matematiksel modelini geliştirmiştir, doygunluk ve basınç dağılımını nümerik olarak hesaplamıştır.

Gerçek rezervuar sistemlerinde akışkan akımı üç boyutta olmaktadır. Ancak birçok pratik çalışmada, üç boyuttan herhangi biri ihmali edilerek akımın iki boyutta olduğu varsayılabılır.

Bu çalışmada koordinat sisteminin yanlış x ve y yönünde akımın olduğu ve akışkanın tek faz (petrol) içerdiği varsayılmıştır.

Akışkanın ve oluşum porozitesinin az olmakla birlikte sıkıştırılabilirliği göz önüne alınmış ve yatişkin olmayan-hal incelenmiştir.

Matematiksel modelin geliştirilebilmesi için kütle korunum, hız ve durum (hal) eşitliklerinin beraberce ele alınması gerekmektedir.

## 2.1 Kütle Korunum Eşitliği

Kütle korunum eşitliğini türetemek için rezervuar ortamından Şekil 2.1 de görülen bir hacim elemanı alınır. Akımın  $x$  ve  $y$  yönünde olduğu kabul edilirse kütle denkliği;

$$(x \text{ deki kütle girişi}) - (x + \Delta x \text{ deki kütle çıkışısı}) + (y \text{ deki kütle girişi}) - (y + \Delta y \text{ deki kütle çıkışısı}) + (\text{üretim veya injeksiyon}) = \text{birikim}$$

şeklinde yazılır ve alışılmış sembollerle gösterilirse,

$$\begin{aligned} m_x|_x h\Delta y \Delta t - m_x|_{x+\Delta x} h\Delta y \Delta t + m_y|_y h\Delta x \Delta t - \\ m_y|_{y+\Delta y} h^{*\Delta t} + q^* h\Delta x \Delta y \Delta t = [(\phi\rho)_t + \Delta t - (\phi\rho)_t] h\Delta x \Delta y \end{aligned} \quad (2.1)$$

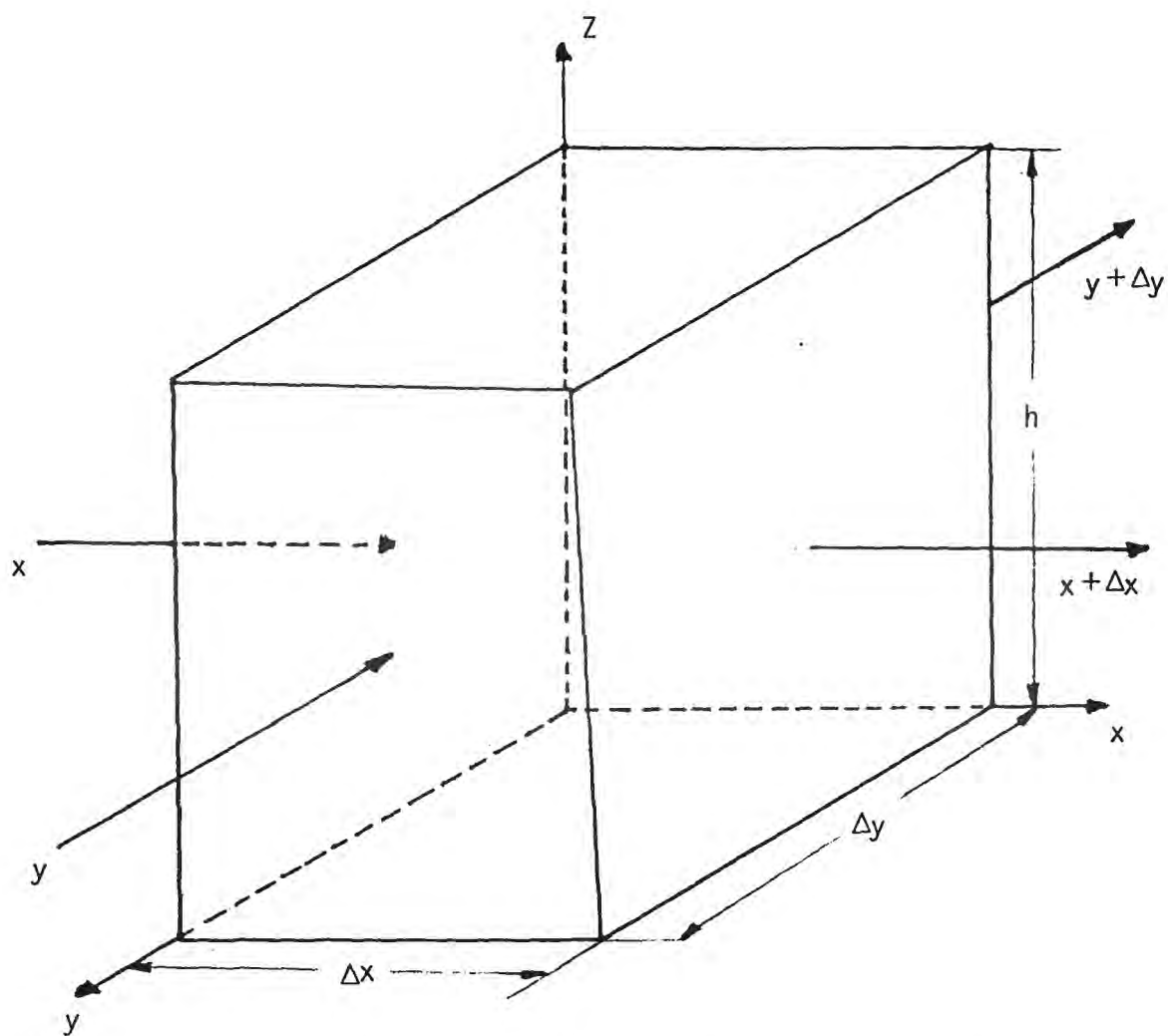
Yukarıdaki eşitlikte;

$m_x$  :  $x$  yönünde birim zamanda birim yüzeyden geçen kütle  
 $m_y$  :  $y$  yönünde birim zamanda birim yüzeyden geçen kütle  
 $h, \Delta x, \Delta y$  : hacim elementinin yüksekliği,  $x$  ve  $y$  yönlerindeki uzunlukları

$\Delta t$  : zaman aralığı

$q^*$  : birim zamanda, birim hacimde injekte edilen veya üretilen kütle

$\rho$  : akışkanın yoğunluğu



Şekil 2.1. Akışkanın Rezervuar Ortamından Aktığı bir Hacim Elemanı

$\phi$  : oluşum porozitesi

(2.1) eşitliği  $h\Delta x \Delta y \Delta t$  ile bölünerek

$$\frac{m_x|_x - m_x|_{x+\Delta x}}{\Delta x} + \frac{m_y|_y - m_y|_{y+\Delta y}}{\Delta y} + q^* = \frac{(\phi\rho)|_{t+\Delta t} - (\phi\rho)|_t}{\Delta t} \quad (2.2)$$

elde edilir ve  $\Delta x, \Delta y, \Delta t \rightarrow 0$  yaklaştırıldığında limit alınır ve türev tanımı uygulanırsa;

$$-\frac{\partial m_x}{\partial x} - \frac{\partial m_y}{\partial y} + q^* = \frac{\partial (\phi\rho)}{\partial t} \quad (2.3)$$

eşitliği elde edilir. Ayrıca  $m = u\rho$  olduğu göz önüne alınlığında,

$$-\frac{\partial (u_x\rho)}{\partial x} - \frac{\partial (u_y\rho)}{\partial y} + q^* = \frac{\partial (\phi\rho)}{\partial t} \quad (2.4)$$

genel denklemi elde edilir. Burada porozite,  $\phi$ , nin zamanla değişebilecegi düşünüülerek türev içerisinde bırakılmıştır.

Akışkanların poroz ortamdan akışında, doğrusal hızın basıncı bağılılığı Darcy kanunu ile ifade edilebilir,

$$u_x = -\frac{K_x}{\mu} \left( \frac{\partial p}{\partial x} - \rho g \frac{\partial h}{\partial x} \right) \quad (2.5)$$

$$u_y = -\frac{K_y}{\mu} \left( \frac{\partial p}{\partial y} - \rho g \frac{\partial h}{\partial y} \right) \quad (2.6)$$

burada,

$K_x, K_y$  : oluşumun x ve y yönündeki geçirgenliği

$\mu$  : akışkanın vizkozitesi

$g$  : yerçekimi ivmesi

$p$  : basınc

Akımın x ve yönlerinde (yatay düzlemede) olduğu varsayımları hatırlanarak, (2.5) ve (2.6) eşitliklerindeki yüksekliğin türevi olan terimler ihmal edilir ve (2.4) eşitliğinde yerine konulursa;

$$\frac{\partial}{\partial x} \left( \frac{K_x \rho}{\mu} \frac{\partial p}{\partial x} \right) + \frac{\partial}{\partial y} \left( \frac{K_y \rho}{\mu} \frac{\partial p}{\partial y} \right) + q^* = \frac{\partial (\phi \rho)}{\partial t} \quad (2.7)$$

eşitliği elde edilir.

## 2.2 Akışkan Yoğunluğu ve Oluşum Porozitesi

Gerçek bir rezervuar, üç fazlı bir akışkan sistemini, gaz, petrol ve su içerir. Bu akışkanlardan gaz yoğunluğu, basıncın önemli bir fonksiyonu olmasına rağmen, petrol ve su yoğunluğu basınçla çok fazla değişmemektedir. Hatta bazı rezervuar simülasyonlarında petrol ve su sıkıştırılamayan akışkan olarak kabul edilebilmektedir.

Bu çalışmada rezervuarın sıkıştırılabilirliği az olan petrol fazındanoluğu varsayılmıştır. Bu tip akışkanın yoğunluğu aşağıdaki (2.8) eşitliği ile verilebilir {13},

$$\rho = \rho^o e^{-C_f(p-p^o)} \quad (2.8)$$

burada,

$C_f$  : akışkanın sıkıştırılabilirliği

$p^o$  : referans basıncı

$\rho^o$  : referans basınçtaki akışkanın yoğunluğu

(2.8) eşitliğinin Taylor açılımı yapıldığında,

$$\frac{\rho}{\rho^o} = 1 + C_f(p-p^o) + \frac{1}{2!} C_f^2 (p-p^o)^2 + \dots \quad (2.9)$$

elde edilir. Akışkanın sıkıştırılabilirliği,  $C_f$ , yaklaşık  $10^{-5} - 10^{-6}$  değerlerinde olduğu göz önüne alınırsa, Taylor açılımında ilk iki terim alınmakta fazla hata yapılmamış varsayılabilir ve

$$\frac{\rho}{\rho^0} = 1 + C_f(p - p^0) \quad (2.10)$$

eşitliği elde edilir.

Rezervuar mühendisliğinde, akışkan yoğunluğu yerine daha çok akışkanın hacimsal oluşum faktörü kullanılır ve aşağıdaki eşitlikle tanımlanır.

$$B = \frac{v}{v^0} \quad (2.11)$$

burada;

$v$  : rezervuar şartlarındaki akışkan hacmi

$v^0$  : standart şartlardaki akışkan hacmi (genellikle depolama şartlarındaki) dir.

O halde,

$$\frac{\rho}{\rho^0} = \frac{B^0}{B} = 1 + C_f(p - p^0) \quad (2.12)$$

yazılır. Burada,

$B^0$  : referans basınçtaki hacimsel oluşum faktörüdür.

Aynı şekilde oluşum porozitesi de basıncın bir fonksiyonu olarak aşağıdaki eşitlikle ifade edilebilir {13}.

$$\phi = \phi^0 [1 + C_R(p - p^0)] \quad (2.13)$$

Burada,

$C_R$  : kayacın sıkıştırılabilirliği

$\phi^o$  : referans basınçtaki porozite

(2.12) ve (2.13) eşitlikleri (2.7) eşitliğinde yerine konarak;

$$\frac{\partial}{\partial x} \left( \frac{\rho^o B^o K_x}{\mu B} \frac{\partial p}{\partial x} \right) + \frac{\partial}{\partial y} \left( \frac{\rho^o B^o K_y}{\mu B} \frac{\partial p}{\partial y} \right) + q^* = \rho \frac{\partial \phi}{\partial t} + \phi \frac{\partial \rho}{\partial t} \quad (2.14)$$

elde edilir.

Ayrıca aşağıdaki türev özelliği kullanılarak:

$$\frac{\partial \phi}{\partial t} = \frac{\partial \phi}{\partial p} \cdot \frac{\partial p}{\partial t} \quad (2.15)$$

ve

$$\frac{\partial \phi}{\partial p} = \phi^o C_R \quad (2.16)$$

elde edilir.

Aynı şekilde;

$$\frac{\partial \rho}{\partial t} = \frac{\partial \rho}{\partial p} \cdot \frac{\partial p}{\partial t}$$

ve

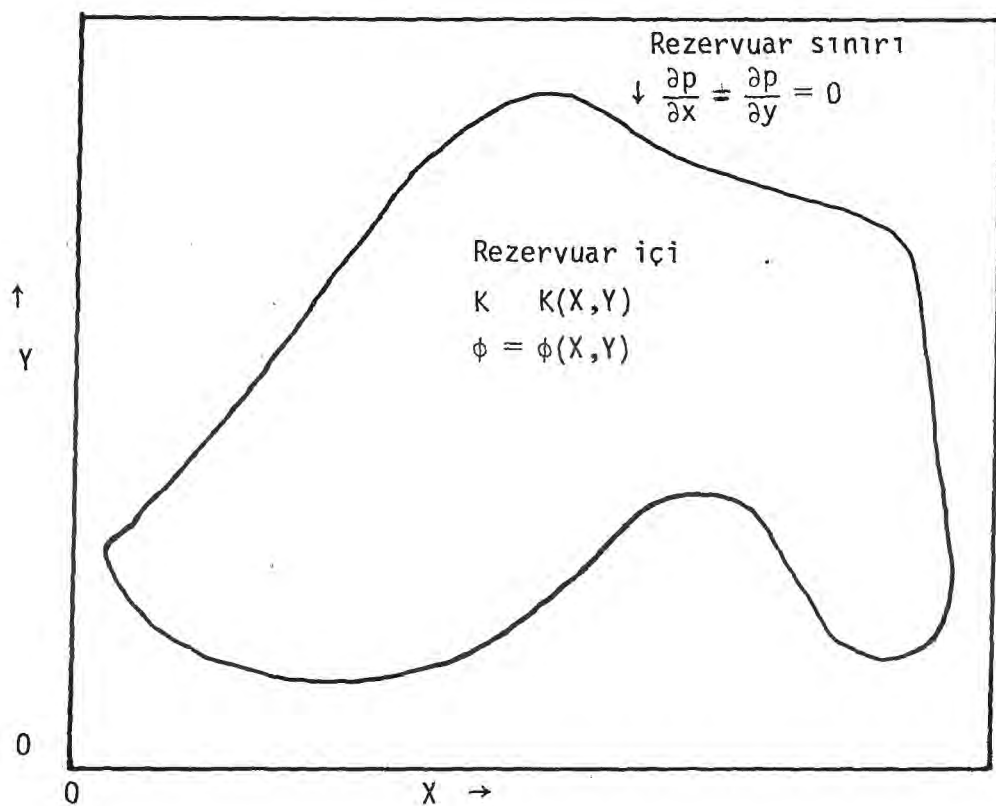
$$\frac{\partial \rho}{\partial p} = \rho^o C_f \quad (2.18)$$

olarak alınabilir.

Bunlar (2.14) eşitliğinde yerine konur ve gerekli kısaltmalar yapılrsa,

$$\frac{\partial}{\partial x} \left( \frac{K_x}{\mu B} \frac{\partial p}{\partial x} \right) + \frac{\partial}{\partial y} \left( \frac{K_y}{\mu B} \frac{\partial p}{\partial y} \right) + \frac{q^*}{\rho^o B^o} = \left( \frac{\phi^o C_R}{B} + \frac{\phi C_f}{B^o} \right) \frac{\partial p}{\partial t} \quad (2.19)$$

doğrusal olmayan kısmi diferansiyel denklemi elde edilir. Bu eşitlik tek fazlı akışkanın (petrol) iki boyutlu, x-y, yatay, poroz bir ortamda yatkın olmayan akım eşitliğidir.



Şekil 2.2. Matematiksel Modelin Sınır Koşulları

Bu eşitlik ancak başlangıç ve sınır koşullarıyla tam ve çözüme hazırlıdır. Değişik sınır koşulları Aziz ve Settari {13} ve Chirichlow {14} tarafından incelenmiştir. Bu çalışmada rezervuar sınırlarından rezervuara veya rezervuar dışına bir akım olmadığı kabul edilmiş, injeksiyon ve üretim,  $q^*$  terimiyle hesaba katılmıştır. Başlangıçta, yani  $t = 0$  anında rezervuardaki basınç sabit bir değer olarak varsayılmıştır.

Şekil 2.2 matematiksel modelin sınır koşullarını göstermektedir.

## BÖLÜM 3

## SONLU FARKLAR YÖNTEMİNİN UYGULANMASI

İkinci bölümde elde edilen (2.19) eşitliği, ikinci mertebeden doğrusal olmayan bir kısmi diferansiyel denklemdir.

Bu eşitliğin cebrik eşitlik sistemine dönüştürülmesi için sonlu farklar yöntemi kullanılmıştır. Sonlu farklar yönteminin açıklandığı birçok nümerik analiz ve çeşitli mühendislik alanlarında yazılmış kitaplar bulunabileceğinden burada kısaca üzerinde durulacaktır. Çözüm yöntemi, Şekil 3.1'de görülen bloklara bölünmüş rezervuar sistemini ve herbir blok için yazılmış basınç dağılımını kapsar.

## 3.1 Türevlerin Sonlu Farklarla Yaklaşık Değerleri

(2.19) eşitliğindeki türevlerin yaklaşık değerleri Taylor açılımı ile bulunabilir.

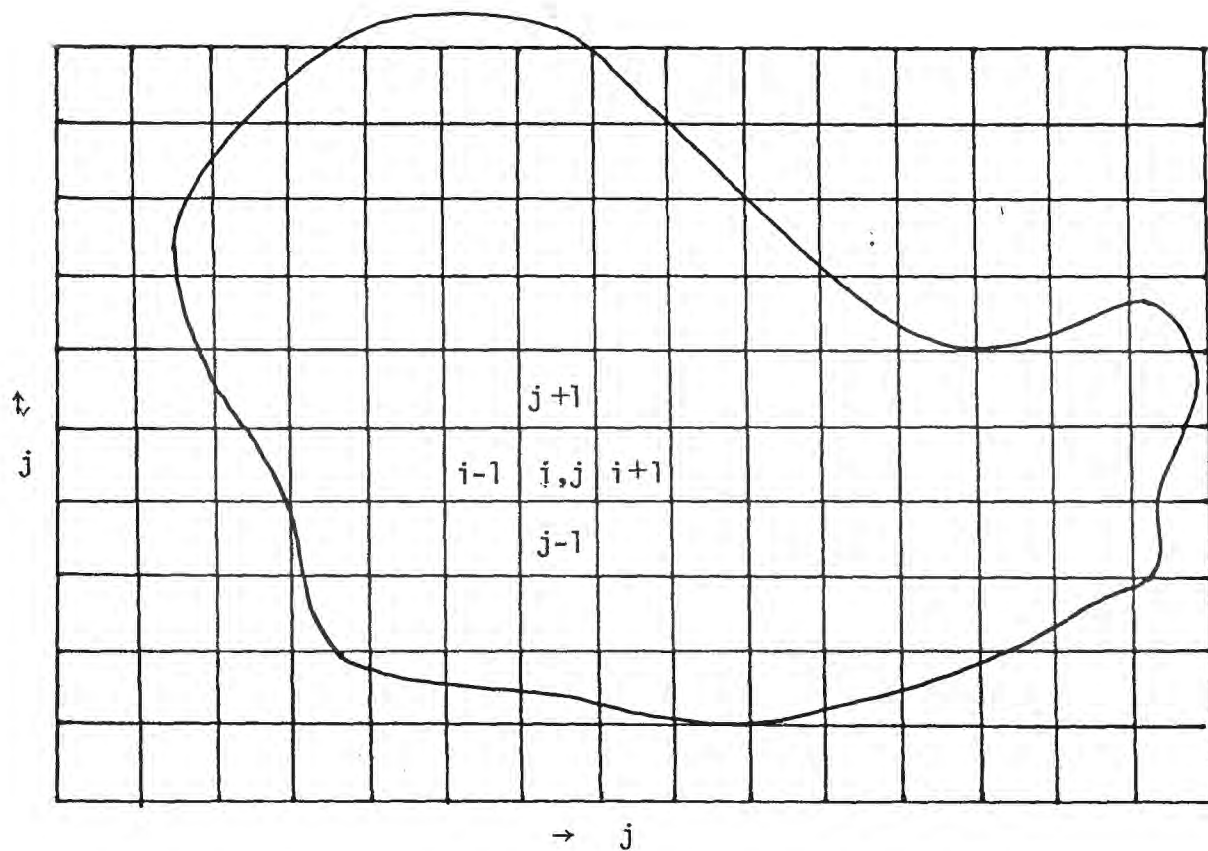
Genel olarak bir  $P$  fonksiyonu için Taylor açılımı yazılırsa (Şekil 3.2);

İleri farklılık:

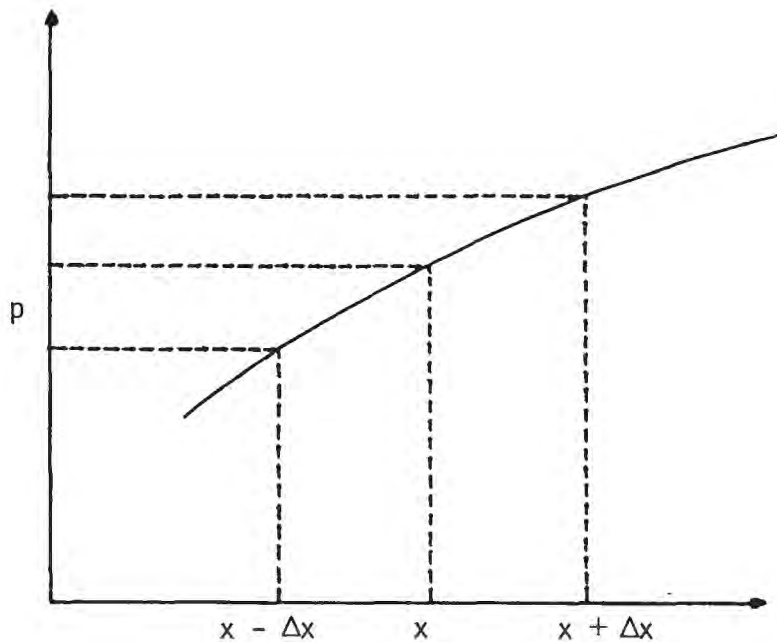
$$\begin{aligned} P(x + \Delta x) &= P(x) + \Delta x P'(x) + \frac{1}{2!} (\Delta x)^2 P''(x) + \\ &\quad \frac{1}{3!} (\Delta x)^3 P'''(x) + \frac{1}{4!} (\Delta x)^4 P^{IV}(x) + \dots \end{aligned} \quad (3.1)$$

Geri farklılık:

$$\begin{aligned} P(x - \Delta x) &= P(x) - \Delta x P'(x) + \frac{1}{2!} (\Delta x)^2 P''(x) - \\ &\quad \frac{1}{3!} (\Delta x)^3 P'''(x) + \frac{1}{4!} (\Delta x)^4 P^{IV}(x) - \dots \end{aligned} \quad (3.2)$$



Şekil 3.1. Bloklara bölünmüş rezervuar sistemi



Birinci türev :

$$\text{ileri} : \frac{\partial p}{\partial x} = \frac{p(x + \Delta x) - p(x)}{\Delta x}$$

$$\text{geri} : \frac{\partial p}{\partial x} = \frac{p(x) - p(x - \Delta x)}{\Delta x}$$

$$\text{merkez} : \frac{\partial p}{\partial x} = \frac{p(x + \Delta x) - p(x - \Delta x)}{2 \Delta x}$$

Şekil 3.2. Birinci Türevler

şeklindedir. Burada;

$$P'(x) = \frac{\partial p}{\partial x} \quad i$$

$$P''(x) = \frac{\partial^2 p}{\partial x^2} \quad yi \quad P''' \text{ ve } P^{IV} \text{ de benzer şekilde üçüncü}$$

ve dördüncü türevleri göstermektedir.

Elde edilen Taylor açılımı eşitlikleri birinci ve ikinci türevler için çözülebilir.

$$P'(x) = \frac{P(x + \Delta x) - P(x)}{\Delta x} + O(\Delta x) \quad (3.3)$$

ve

$$P'(x) = \frac{P(x) - P(x - \Delta x)}{\Delta x} + O(\Delta x) \quad (3.4)$$

Bu eşitlikler sırası ile birinci türev için ileri ve geri farklılıklarıdır. İki eşitlik birbirinden çıkartıldığında, birinci türev için merkezdeki farklılık elde edilir.

$$P'(x) = \frac{P(x + \Delta x) - P(x - \Delta x)}{2\Delta x} + O(\Delta x)^2 \quad (3.5)$$

$O(\Delta x)$  ve  $O(\Delta x)^2$  kesilme hatası (truncation error) olarak adlandırılır.

İkinci türev için Taylor açılımından elde edilen iki eşitlik birbiri ile toplanırsa ve  $P''$  çekilirse;

$$P'' = \frac{P(x + \Delta x) - 2P(x) + P(x - \Delta x)}{(\Delta x)^2} + O(\Delta x)^2 \quad (3.6)$$

buradaki  $O(\Delta x)^2$  de ikinci türevden gelen kesilme hatasıdır.

### 3.2 Sonlu Farkların Poroz OrtamdaKİ Akıma Uygulanması

İkinci bölümde elde edilen (2.19) eşitliğine sonlu farklar yöntemi uygulanarak doğrusal olmayan kısmi diferansiyel denklem, cebrik denklemler sisteme kolayca dönüştürülebilir.

(2.19) eşitliği türetilirken herhangi bir özel birim sistemi dikkate alınmamıştır. Güncel olarak rezervuar sisteminde özel bir birim sistemi kullanılır. Örneğin, uzunluklar ft, viskozite cp, basınç psia, petrol hacmi varil, zaman gün, kayaç geçirgenliği darcy gibi. Bu nedenle (2.19) eşitliği İngiliz Birim Sistemine çevrildiğinde eşitlikte bazı çevirme faktörleri bulunacaktır. Üretim ve injeksiyon genellikle varil/gün olarak alınır.

(2.19) eşitliği  $h\Delta x \Delta y$  ile çarpılır ve  $A_x = h\Delta y$ ,  $A_y = h\Delta x$ ,  $V_b = h\Delta x \Delta y$  olduğu göz önünde bulundurulursa aşağıdaki eşitlik elde edilir.

$$\begin{aligned} \frac{\partial}{\partial x} \left( \frac{1,127 A_x^K}{\mu B} \frac{\partial p}{\partial x} \right) \Delta x + \frac{\partial}{\partial y} \left( \frac{1,127 A_y^K}{\mu B} \frac{\partial p}{\partial y} \right) \Delta y + q \\ = \frac{V_b}{5,615} \left( \frac{\phi C_R^o}{B} + \frac{\phi C_f^o}{B} \right) \frac{\partial p}{\partial t} \end{aligned} \quad (3.7)$$

Burada;

$$q = \frac{q^* h \Delta x \Delta y}{5,615 \rho^o B^o} ; (\text{varil})_{ss}/\text{gün} \quad (3.8)$$

Rezervuar sistemi blok merkezli ağ şeklinde düşünülerek (3.7) eşitliğine sonlu farklar yöntemi uygulandığında aşağıdaki eşitlik elde edilir.

$$\begin{aligned}
 & TX_{i+1/2,j} P_{i+1,j} - TX_{i-1/2,j} P_{i,j} - TX_{i+1/2,j} P_{i,j} + \\
 & TX_{i-1/2,j} P_{i-1,j} + TY_{i,j+1/2} P_{i,j+1} - TY_{i,j-1/2} P_{i,j} - \\
 & TY_{i,j+1/2} P_{i,j} + TY_{i,j-1/2} P_{i,j-1} + q = \\
 & \frac{V_b}{5,615} \left( \frac{\phi^o C_R}{B} + \frac{\phi C_f}{B^o} \right) \frac{\partial p}{\partial t}
 \end{aligned} \tag{3.9}$$

Burada;

$$\begin{aligned}
 TX &= \frac{1,127 A_x K_x}{\mu B \Delta x} \\
 TY &= \frac{1,127 A_y K_y}{\mu B \Delta y} \quad \text{dir.}
 \end{aligned}$$

$TX$  ve  $TY$  terimleri blok merkezli iki rezervuar bloğu arasındaki transmissibiliteyi ifade ettiği için bu, iki komşu rezervuar sınırında hesaplanır ve hesaplarda harmonik ortalaması kullanılır.

(3.9) eşitliğinin sağ tarafındaki türeviden sonlu farklılar yöntemi ilerideki çözüm bölümünde uygulanacağı için burada uygulanmamıştır.

## BÖLÜM 4

### ÇÖZÜM YÖNTEMİ

Bir rezervuarın matematiksel modelinden elde edilen kısmi diferansiyel denklem, sonlu farklar yöntemiyle cebrik denklemler sistemine dönüştürüldüğünde elde edilen matrisin birçok elemanı sıfırdır (sparse matrix).

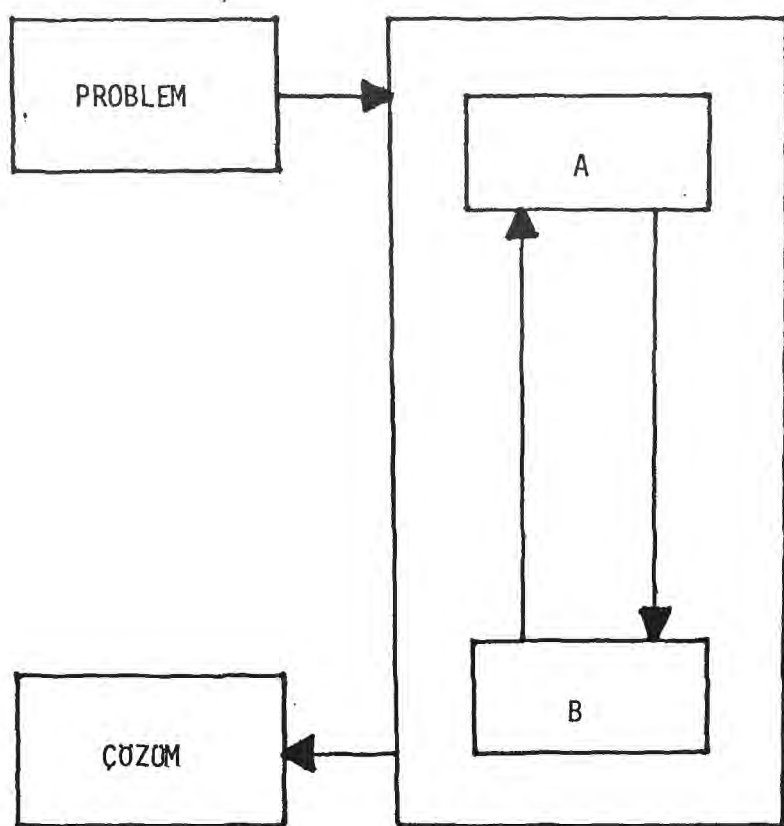
Direk çözüm yöntemleri verilen katsayı matrisinin elemanlarını işlemler sırasında değiştirirler ve başlangıçta çok sıfırlı olan katsayı matrisi, sıfır elemanları daha az olan bir yoğun (dense) matrise dönüşür. Buna karşılık iteratif yöntemler katsayı matrisindeki sıfır olan elemanları değiştirmez. Bu nedenle büyük ve çok sıfırlı bir katsayı matrisine sahip denklem sistemlerinde genellikle iteratif yöntemler kullanılır. Direk ve iteratif yöntemlerin şematik olarak anlatımı Şekil 4.1 de gösterilmiştir.

Şekil 4.1 den görüldüğü gibi direk yöntemde ancak belirli sayıda işlemden sonra çözüm elde edilir. Bu belirli sayıdaki işlem tamamlanmadıkça çözüm elde edilemez. Yine sekilden görüldüğü gibi iteratif yöntemde bilinmeyenler için seçilen tahmini çözüm işlem yapıldıkça doğru çözüme yaklaşır. İstenilen yaklaşımına bağlı olarak işlem durdurulabilir.

Yukarıdaki nedenlerden ötürü rezervuar simülasyonunda genellikle iteratif yöntemler kullanılır.



a. DİREK YÖNTEMLER



b. İTERATİF YÖNTEMLER

Şekil 4.1. Direk ve İteratif Yöntemler

Bu bölümde en çok bilinen iteratif yöntemler hakkında kısaca bilgi verilecektir. Daha geniş bilgi değişik nümerik analiz kitaplarında bulunabilir [18-20].

Bu yöntemler:

- 1- Jacobi yöntemi
- 2- Gauss-Seidel yöntemi
- 3- Ardışık Düzeltmeler yöntemi (Successive over relaxation, SOR,)

Genel olarak,

$$A \cdot P = b \quad (4.1)$$

matrisi şeklinde yazılmış cebrik denklem sistemi herbir dizi için yazılıp; bilinmeyen p değeri çekildiğinde;

$$\begin{aligned} p_1 &= \frac{1}{a_{11}} [b_1 - (a_{12}p_2 + a_{13}p_3 + \dots + a_{1n}p_n)] \\ p_2 &= \frac{1}{a_{22}} [b_2 - (a_{21}p_1 + a_{23}p_3 + \dots + a_{2n}p_n)] \\ &\vdots \\ p_n &= \frac{1}{a_{nn}} [b_n - (a_{n1}p_1 + a_{n2}p_2 + \dots + a_{n,n-1}p_{n-1})] \end{aligned} \quad (4.2)$$

çözüm denklemleri elde edilir. Çözüme p nin yaklaşık bir değeri ile başlanarak, istenen toleranstaki değer elde edilene kadar devam edilir.

#### 4.1 Jacobi Yöntemi

Iteratif yöntemlerden ilkidir. (4.1) eşitliği ile gösterilen matris sistemini, (4.2) eşitliklerini sürekli olarak uygulanıp iteratif olarak çözülmesini sağlar. Genel olarak,

$$p_i^{k+1} = \frac{1}{a_{ii}} (b_i - \sum_{\substack{j=1 \\ j \neq i}}^n a_{ij} p_j^k) \quad i = 1, 2, \dots, n \quad (4.3)$$

denklemi ile gösterilir. Burada  $k$ , iterasyon sayacıdır. Her bir iterasyonda  $p$  vektörünün bütün değerleri hesaplandıktan sonra yeni bir iterasyonda kullanılır.

#### 4.2 Gauss-Seidel Yöntemi

Jacobi yönteminin benzeridir, ancak (4.3) eşitliğinden ki  $p_j^k$  yerine  $j < i$  olduğu durumda  $p_j^{k+1}$  değeri gelmektedir. Formüle edilmiş hali;

$$p_i^{k+1} = \frac{1}{a_{ii}} (b_i - \sum_{\substack{j=1 \\ j \neq i}}^n a_{ij} p_j^{k+1}) \quad (4.4)$$

şeklindedir. Bu yöntem Jacobi yönteminden daha çabuk çözüme yaklaşır, çünkü bir iterasyon sırasında  $p$  vektörünün en son hesaplanan elemanları kullanılır.

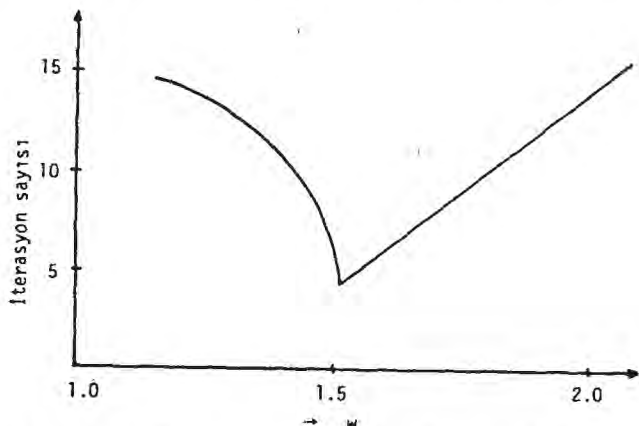
#### 4.3 Ardışık Düzeltmeler Yöntemi

Gauss-Seidel yönteminin  $p$  vektörünün aynı başlangıç değeriyle Jacobi yönteminden daha hızlı çözüme yaklaşığına yukarıda değinilmiştir. Gauss-Seidel yöntemine değeri 1-2 arasında olan bir düzeltme faktörü  $w$  katılmasıyla çözüme daha az sayıda iterasyonla yaklaşıldığı görülmüştür. Bu yöntem aşağıdaki eşitlikle gösterilebilir:

$$p_i^{k+1} = w p_i^{k+1} + (1 - w) p_i^k \quad (4.5)$$

Düzeltme faktörünün 1 ile 2 arasında bir değer alabilmesine rağmen optimum değeri çözüme belirli toleransta yaklaşabilemek için en az sayıda iterasyon gerektirir.

Optimum düzeltme faktörünün yaklaşık değeri bu faktörün Şekil 4.2 de gösterilen tipik grafiğinden bulunabilir. Şekilde aynı yaklaşıkla çözüme ulaşan ve en az iterasyon



Şekil 4.2 Optimum düzeltme faktörünün seçimi

gerektiren  $w$  değeri optimum düzeltme faktörü olarak kullanılabilir. Optimum düzeltme faktörünün diğer hesaplanma yöntemleri Carre {21} ve Reid {22} tarafından verilmiştir.

En sık kullanılan yöntemlerden biri, iterasyona  $w = 1$  (Gauss-Seidel) alınarak başlanır. Birkaç iterasyonla spektral yarıçap  $\rho(GS)$  aşağıda görüldüğü gibi hesaplanır.

$$\rho(GS) = \frac{|d^{k+1}|_{\max}}{|d^k|_{\max}}, \quad k \rightarrow \infty \quad (4.6)$$

Burada,

$$|d^{k+1}|_{\max} = \max_i |p_i^{k+1} - p_i^k| \quad (4.7)$$

Hesaplanan  $\rho(GS)$  aşağıdaki eşitlikte kullanılarak

$$w_{\text{opt}} = \frac{2}{1 + \sqrt{1 - \rho(GS)}} \quad (4.8)$$

optimum düzeltme faktörü bulunabilir ve daha sonraki iterasyonlara bulunan bu  $w_{opt}$  ile devam edilir.

Bu çalışmada yukarıdaki yöntemin değişik bir şekli olan ve Young {23} tarafından önerilen yöntem kullanılmıştır. Bu yöntemde  $W$  için tahmini bir değer seçilir. Birkaç iterasyon bu değerle yapılarak ardışık düzeltmeler yöntemi için spektral yarıçap bulunur.

$$\rho(\text{SOR}) = \frac{|d^{k+1}|_{\max}}{|d^k|_{\max}} \quad (4.9)$$

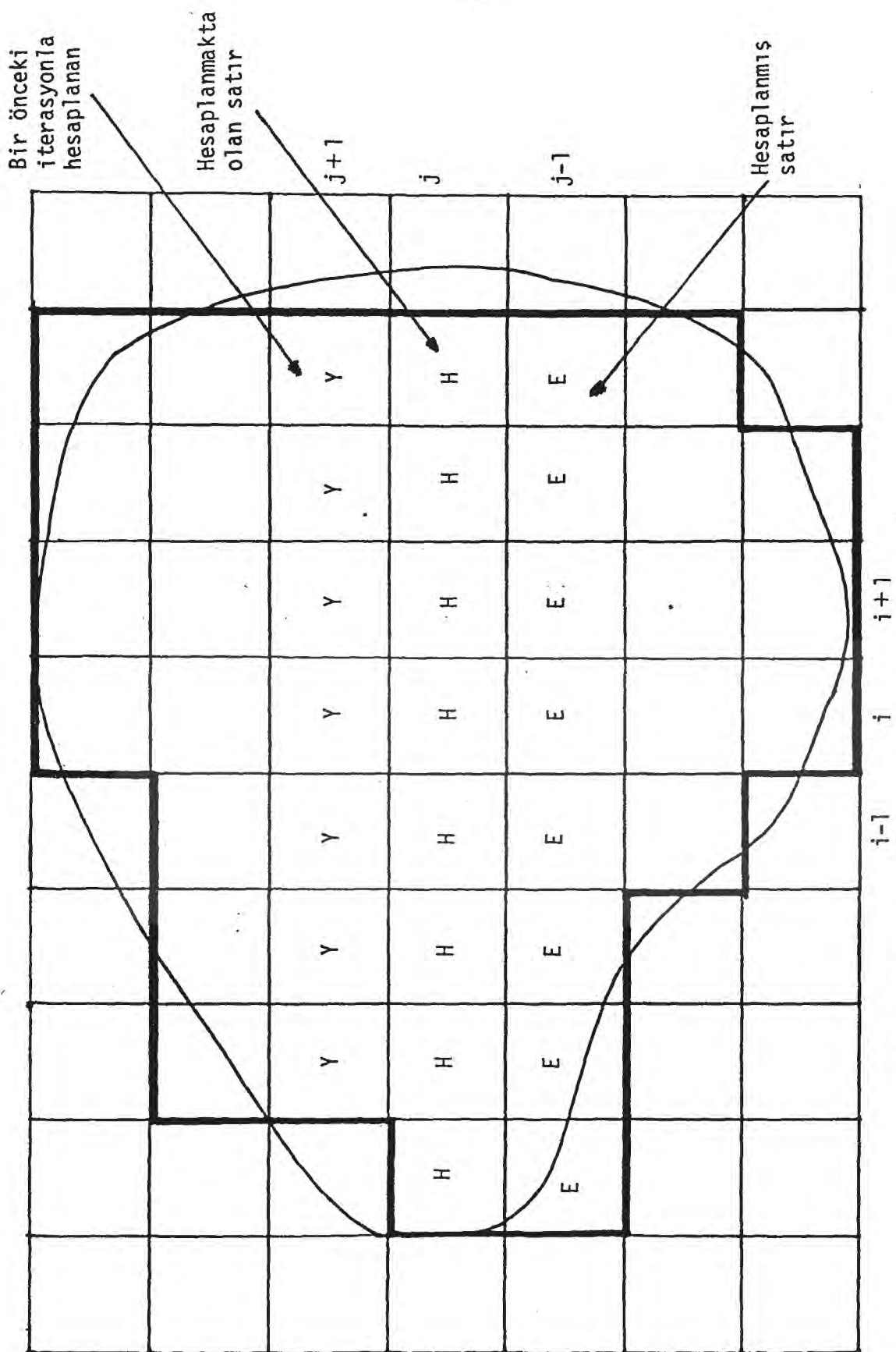
Hesaplanan bu değerle Gauss-Seidel yönteminin spektral yarıçapı hesaplanır,

$$\rho(\text{GS}) = \frac{[\rho(\text{SOR}) + w - 1]^2}{\rho(\text{SOR}) w^2} \quad (4.10)$$

ve (4.8) eşitliğinden optimum düzeltme faktörü,  $w_{opt}$ , hesaplanarak iterasyona bu değerle devam edilir.

Yukarıda anlatılan ardışık düzeltmeler yöntemi bir rezervuar sisteminde herbir bloğa ayrı ayrı uygulandığında (point successive over relaxation, PSOR) bilinmeyen tek değer, eşitliğin sol tarafında bırakılarak açık olarak (explicit) hesaplanır. Bu yöntemin daha geliştirilmiş bir şekli olan satırlarda ardışık düzeltmeler yöntemi (line successive over relaxation, LSOR) bir sıradaki blokların tümüne birden uygunabilen ve kapalı (impilicit) olarak bilinmeyenler aynı anda hesaplanır. Bu çalışmada uygulanan yöntem de bu son, yani satırlarda ardışık düzeltmeler yöntemidir.

İki boyutlu bir rezervuarda akım eşitliği bu yöntemle Şekil 4.3 den de görüldüğü gibi tek boyutlu bir rezervuara dönüştürümüş olur.



Sekil 4.3. Satırlarda ardışık düzeltmeler yöntemi

BÖLÜM 5  
MODELİN SATIRLarda ARDıŞIK DÜZELTMELER YÖNTEMİYLE  
ÇÖZÜMÜ

Bu bölümde satırlarda ardışık düzeltmeler yöntemi, matematiksel modelden elde edilen doğrusal olmayan kısmi diferansiyel denkleme sonlu farkların uygulanmasıyla türetilen (3.9) eşitliğinin çözümünde kullanılacaktır.

Genellikle iki boyutlu bir rezervuarın simülasyonunda sonlu farkların uygulanmasıyla elde edilen cebrik denklemler bir beş köşegenli (pentadiagonal) matris oluşturur. Fakat bu beş köşegenli matris satırlarda ardışık düzeltmeler yöntemi ile kolaylıkla üç köşegenli matrise, yani tek boyutlu rezervuar sisteme dönüştürülebilir. Her bir yatay sıradaki bloklar aynı anda hesaplanır. Şekil 4.2 den de görüldüğü gibi bir alt yatay sıradaki ( $j-1$ ) bloklar bulunulan iterasyonda hesaplanmış, bir üst satırdaki ( $j+1$ ) bloklar ise bir önceki iterasyonda hesaplanmıştır. Böylelikle bütün satırlardaki bloklar hesaplanana kadar işleme devam edilir ve yeni bir zaman dilimine geçilir.

5.1 Üç Köşegenli Matrisin Elde Edilişi

(3.9) eşitliği yeniden ele alınarak aşağıdaki işlemler yapılır.

$$\begin{aligned}
 & TX_{i-1/2,j} p_{i-1,j}^{k+1} - (TX_{i-1/2,j} + TX_{i+1/2,j} + TY_{i,j-1/2} + \\
 & + TY_{i,j+1/2}) p_{i,j}^{k+1} + TX_{i+1/2,j} p_{i+1,j}^{k+1} + TY_{i,j+1/2} p_{i,j+1}^k \\
 & + TY_{i,j-1/2} p_{i,j-1}^{k+1} + q \\
 & = \frac{v_b}{5,615} \left( \frac{\phi^0 C_R}{B} + \frac{\phi C_f}{B^0} \right) \frac{p_{i,j}^{k+1} - p_{i,j}^k}{\Delta t} \quad (5.1)
 \end{aligned}$$

Eşitliğin sağ tarafındaki ifade

$$\frac{v_b}{5,615} \left( \frac{\phi^0 C_R}{B} + \frac{\phi C_f}{B^0} \right) = \gamma \quad \text{olsun.} \quad (5.2)$$

O halde

$$\begin{aligned}
 & TX_{i-1/2,j} p_{i-1,j}^{k+1} - (TX_{i-1/2,j} + TX_{i+1/2,j} + TY_{i,j-1/2} + \\
 & + TY_{i,j+1/2} + \frac{\gamma_{i,j}}{\Delta t}) p_{i,j}^{k+1} + TX_{i+1/2,j} p_{i+1,j}^{k+1} + TY_{i,j+1/2} p_{i,j+1}^k \\
 & + TY_{i,j-1/2} p_{i,j-1}^{k+1} + q = - \frac{\gamma_{i,j}}{\Delta t} p_{i,j}^k \quad (5.3)
 \end{aligned}$$

Aşağıdaki yeni terimler tanımlanarak,

$$B_{i,j} = TY_{i,j-1/2}$$

$$D_{i,j} = TX_{i-1/2,j}$$

$$E_{i,j} = -(TX_{i-1/2,j} + TX_{i+1/2,j} + TY_{i,j-1/2} + TY_{i,j+1/2} + \frac{\gamma_{i,j}}{\Delta t})$$

$$F_{i,j} = TX_{i+1/2,j}$$

$$H_{i,j} = T Y_{i,j+1/2}$$

$$Q_{i,j}^l = -q_{i,j} - \frac{\gamma_{i,j}}{\Delta t} p_{i,j}^k$$

ve  $E_{i,j}$  bu yeni terimler cinsinden yazılarak,

$$E_{i,j} = -(B_{i,j} + D_{i,j} + F_{i,j} + H_{i,j} + \frac{\gamma_{i,j}}{\Delta t})$$

elde edilir.

(5.3) eşitliği bu yeni tanımlanan terimlerle yazıldığında

$$\begin{aligned} & D_{i,j} p_{i-1,j}^{k+1} + E_{i,j} p_{i,j}^{k+1} + F_{i,j} p_{i+1,j}^{k+1} + H_{i,j} p_{i,j+1}^k \\ & + B_{i,j} p_{i,j-1}^{k+1} = Q_{i,j}^l \end{aligned} \quad (5.4)$$

elde edilir. (5.4) eşitliğinde  $p_{i,j}^{k+1}$  terimi eşitliğin sol tarafında bırakılıp satırlarda ardışık düzeltmeler yöntemi uygulandığında aşağıdaki eşitlik elde edilir.

$$\begin{aligned} p_{i,j}^{k+1} = \frac{w}{E_{i,j}} (Q_{i,j}^l - B_{i,j} p_{i,j-1}^{k+1} - D_{i,j} p_{i-1,j}^{k+1} - F_{i,j} p_{i+1,j}^{k+1} - \\ - H_{i,j} p_{i,j+1}^k) + (1-w) p_{i,j}^k \end{aligned} \quad (5.5)$$

(5.5) eşitliği herhangi bir yatay sıra ( $j$  değeri) için yazıldığında aşağıda görüldüğü gibi üç köşegenli matris elde edilir.

$$\begin{aligned} \frac{wD_{i,j}}{E_{i,j}} p_{i-1,j}^{k+1} + p_{i,j}^{k+1} + \frac{wF_{i,j}}{E_{i,j}} p_{i+1,j}^{k+1} = \\ \frac{w}{E_{i,j}} (Q_{i,j}^l - B_{i,j} p_{i,j-1}^{k+1} - H_{i,j} p_{i,j+1}^k) + (1-w) p_{i,j}^k \end{aligned} \quad (5.6)$$

(5.6) eşitliğindeki sağ taraf bilinen değerler, bilinmeyenler ise  $k+1$ inci iterasyonda  $P_{i-1,j}$ ,  $P_{i,j}$  ve  $P_{i+1,j}$  elemanlarıdır. Bu eşitlik daha basit olarak aşağıdaki gibi gösterilebilir.

$$a_i P_{i-1,j}^{k+1} + b_i P_{i,j}^{k+1} + c_i P_{i+1,j}^{k+1} = d_i \quad (5.7)$$

burada,

$$a_i = \frac{w D_{i,j}}{E_{i,j}}$$

$$b_i = 1$$

$$c_i = \frac{w F_{i,j}}{E_{i,j}} \quad \text{ve}$$

$$d_i = \frac{w}{E_{i,j}} (Q L_{i,j} - B_{i,j} P_{i,j-1}^{k+1} - H_{i,j} P_{i,j+1}^k) + (1-w) P_{i,j}^k$$

(5.7) eşitliği iki boyutlu rezervuarın tek boyuta dönüştürülmüş hali olup elde edilen üç köşegenli matris Thomas yöntemi ile çözülebilir. Thomas yönteminin kısaca izahı Ek 1 de verilmiştir.

Satırlarda ardışık düzeltmeler yöntemiyle bir sıradaki bloklarda bir iterasyon sonunda elde edilen basınç dağılımı bir önceki iterasyonda elde edilen basınç dağılımı ile kıyaslanarak seçilen bir toleranstan küçük olup olmadığına bakılır. Küçükse işleme son verilir, değilse iterasyona devam edilir.

## 5.2 Kütle Denkliğinin Uygulanması

Bir rezervuarda bloklar arası akışkan akımı olduğu gibi rezervuar dışından rezervuara akışkan injeksiyonu veya rezervuardan akışkan üretimi söz konusudur.

Belirli zaman aralıklarında rezervuardaki kuyulardan injekte edilen veya üretilen akışkan (petrol) bilinen belirli değerlerdir.

Zaman aralıklarının başında ve sonunda rezervuar blokları içindeki net akışkanın hacmi de kolaylıkla hesaplanabilir. Böylece her zaman aralığının sonunda kütle denkliğinin sağlanıp sağlanmadığı kontrol edilir. Sağlanıyorsa yeni bir zaman aralığına geçilir. Sağlanmıyorsa iterasyona devam ederek yeni bir basınç dağılımı hesaplanır.

## BÖLÜM 6

### ÇÖZÜMÜN BİLGİSAYAR PROGRAMI

Elde edilen nümerik model IBM 4341 bilgisayar sisteminde çözülmüştür. Çözüm için bir ana program, yedi altprogram (subroutine), iki fonksiyon altprogramı (function subroutine) ve çok hassas olması gereken bazı büyüklüklerde çift hassasiyet (double precision) kullanılmıştır.

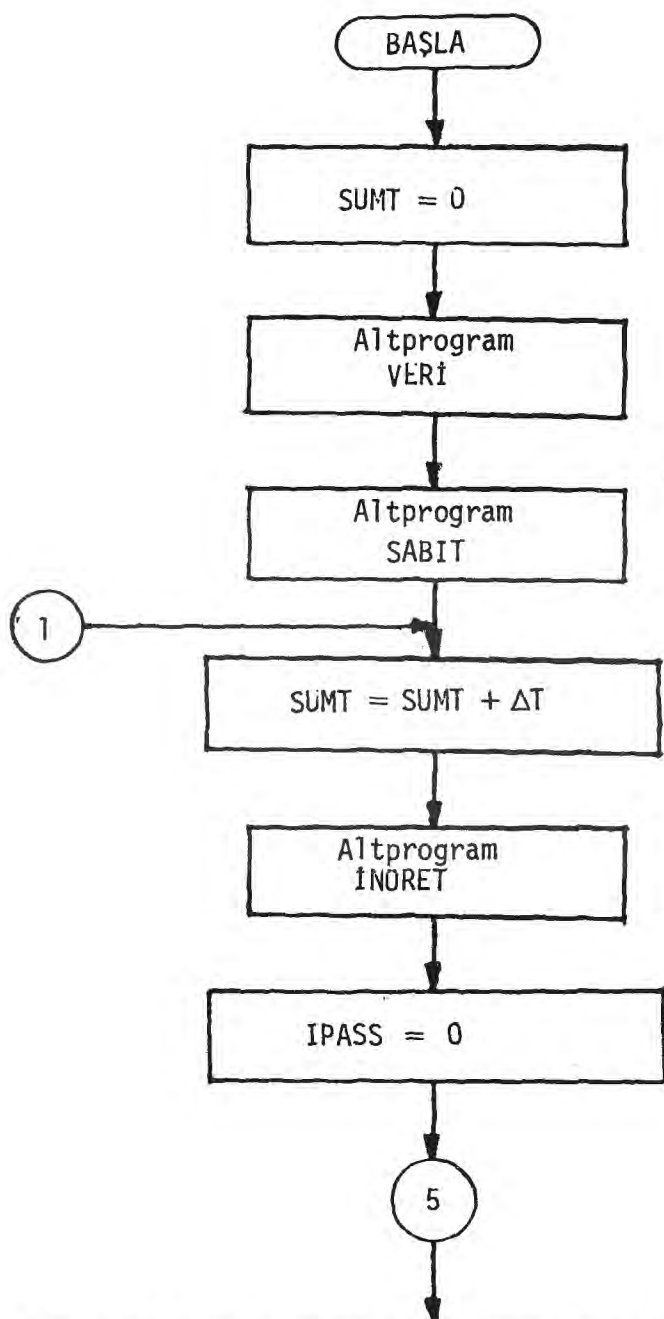
#### 6.1 Programın Açıklanması

Şekil 6.1 de akım şeması verilen ana programda simülasyon başlatılır. Gerekli alt programlar çağrılarak yeni zaman aralığında hesaplanan yeni basınc dağılımı bir önceki basınçdağılımına eşitlenir. Zamanı, alınan zaman dilimi kadar arttırıp aynı işlemler yapılır. Toplam simülasyon zamanı sona erdiğinde program durdurulur.

VERİ altprogramında rezervuar, akışkan ve kayaç ile ilgili veriler okunur ve yazdırılır. Rezervuarın herhangi bir özelliği her yerde aynı ise bu özellik tek bir sabit olarak okutulur ve bir DO döngüsü ile her yerde eşitkılınır, aksi halde veriler herbir blok için ayrı ayrı okutulur.

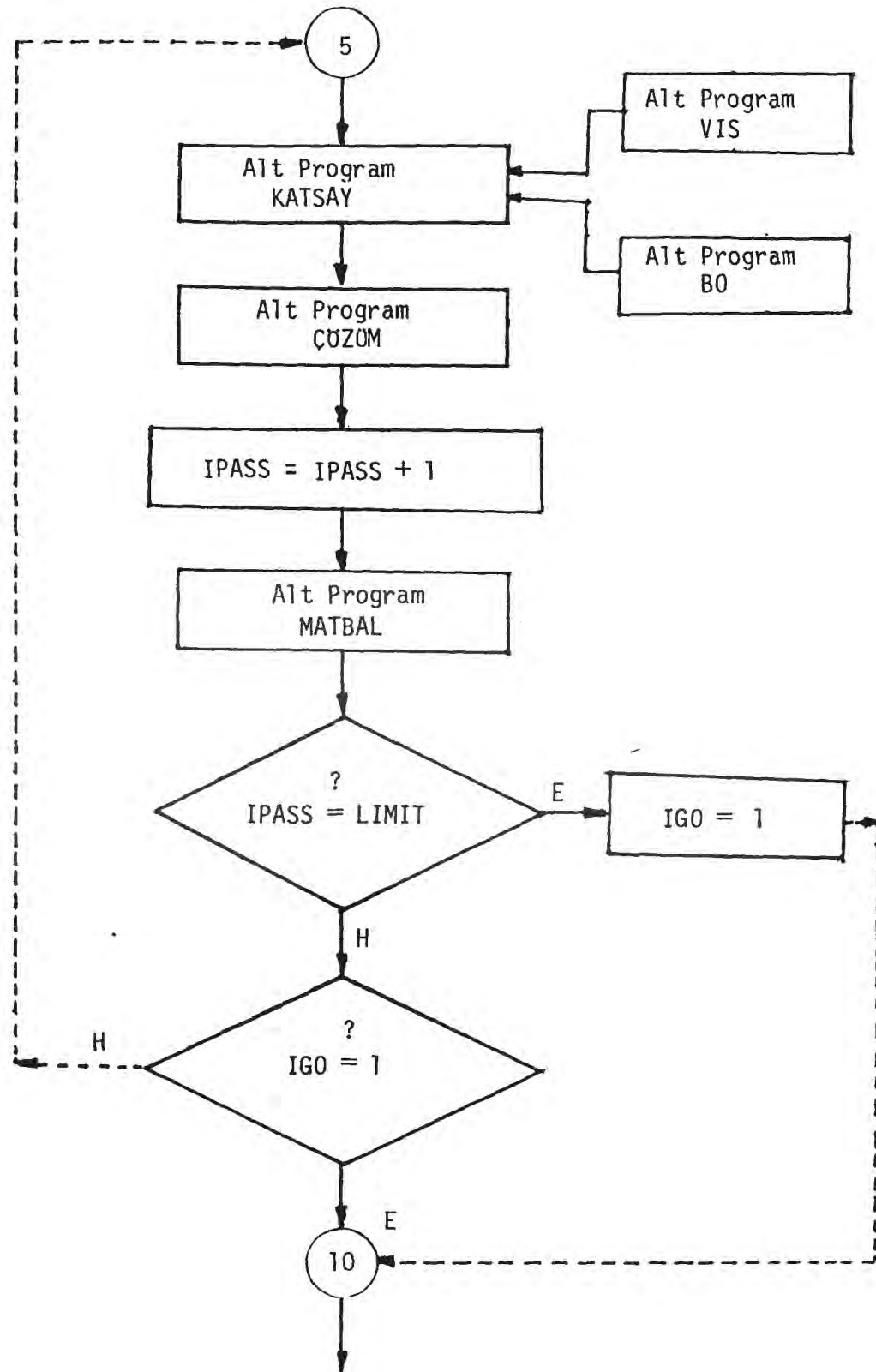
SABİT altprogramında, transmissibilitelerin sabit olan yanı basıncın, dolayısıyla zamanın fonksiyonu olmayan katsayıları ve başlangıç rezervi ile blok hacimleri hesaplanır.

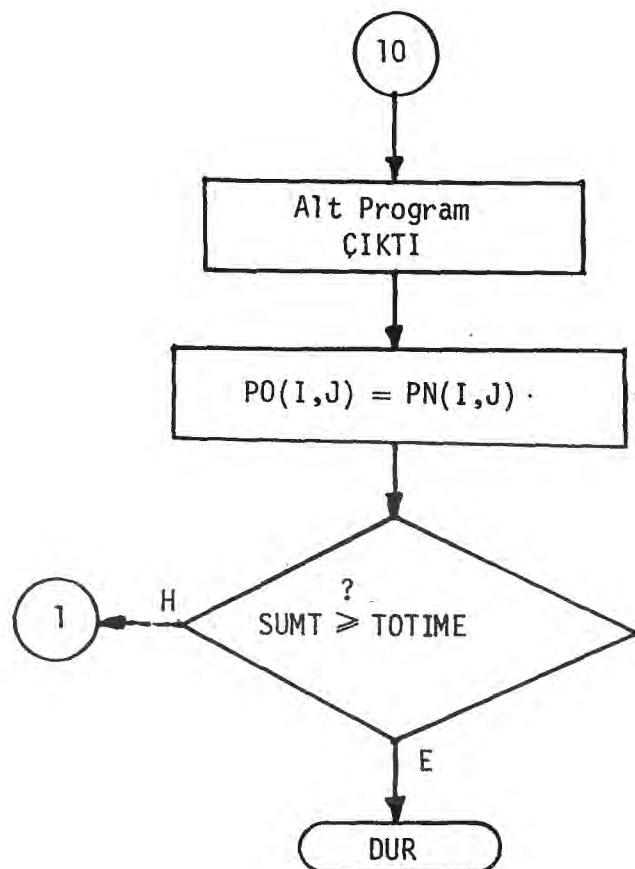
İNÜRET altprogramında, bulunulan zaman aralığında kuyularındaki üretim ve injeksiyon okutulur ve yazdırılır.



Şekil 6.1. Bilgisayar Programının Akım Şeması

Şekil 6.1 in devamı





KATSAY altprogramında transmissibiliteler ve basınç eşitliğindeki değişken katsayılar hesaplanır.

ÇÖZÜM altprogramında yeni zaman dilimindeki rezervuar basınç dağılımı satırlarda Ardışık Düzeltmeler Yöntemi kullanılarak hesaplanır. Basınç dağılımında elde edilen üç köşegenli matris Thomas yöntemi ile çözülür. Bu altprogramda optimum iterasyon parametresinin değeri de hesaplanır. Ancak bu programda optimum iterasyon parametresinin hesaplandığı kısım çalıştırılamamıştır ve parametrenin 1,2 sabit değeri ile hesaplama yapılmıştır. Çözümde, bir satırda sadece bir tek blok rezervuar sınırları içerisinde kalmışsa o blok rezervuar dışı kabul edilerek hesaba katılmamıştır.

MATBAL altprogramında iç ve dış üretimler hesaplanarak madde denkliğinin sağlanıp sağlanmadığı kontrol edilir.

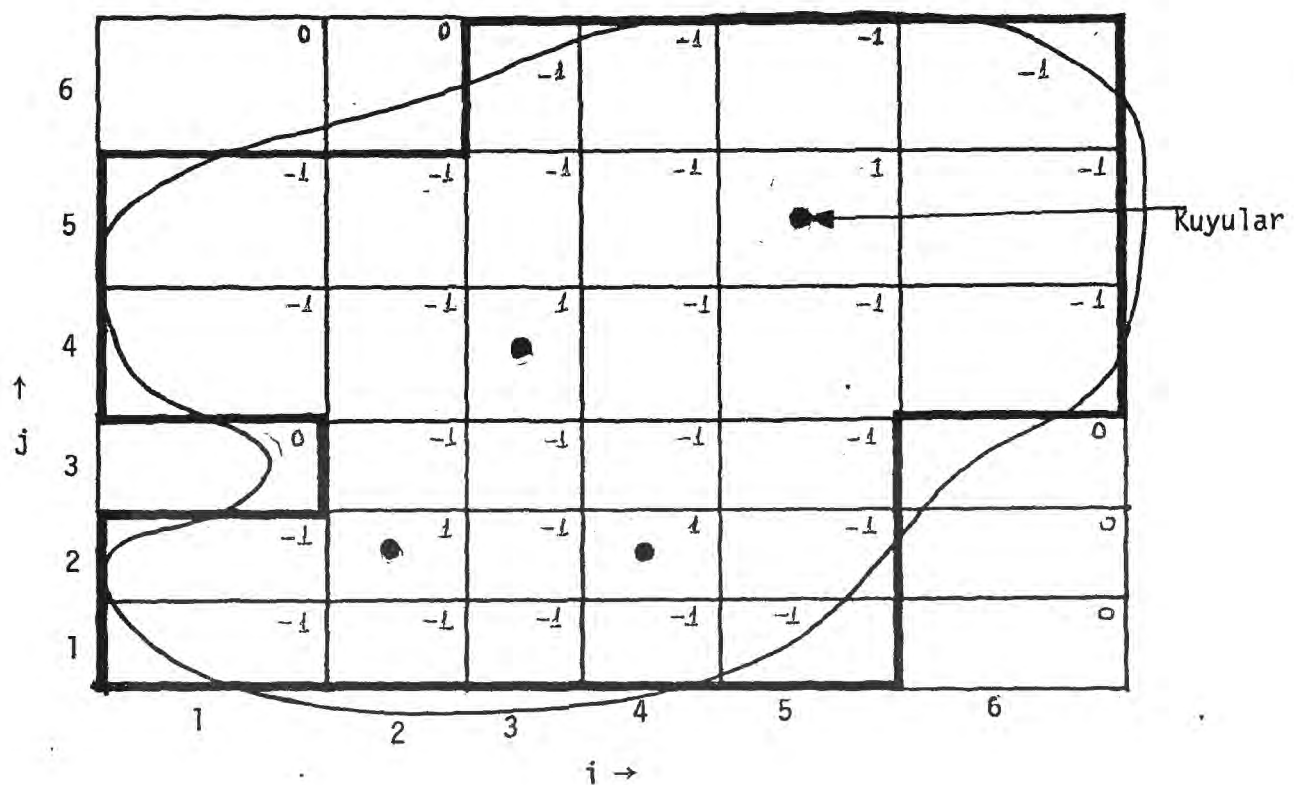
ÇIKTI altprogramında rezervuarın hesaplanan yeni basınç dağılımı üretim ve model hakkında gerekli bilgiler yazdırılır.

VIS fonksiyon altprogramında akışkan vizkozitesi basınçla doğrusal olarak değiştiği kabul edilerek hesaplanmıştır.

BO fonksiyon altprogramında hacimsel oluşum faktörü hesaplanmıştır.

## 6.2 Programın Uygulanması

Bu bilgisayar programıyla 6x6, dört kuyu içeren ve Şekil 6.2 de gösterilen bir rezervuarın simülasyonu yapılmıştır.



IND ( $i, j$ ): 0 ise rezervuar dışı

IND ( $i, j$ ): -1 ise rezervuar içi fakal kuyu yok

IND ( $i, j$ ): 1 ise rezervuar içi ve kuyu var

Şekil 6-2: Modelin Uygulandığı Rezervuar Sistemi

Rezervuar ve akışkanın fiziksel özelliklerini, boyutlarını ve zaman aralıklarını ile bu aralıklardaki üretim ve injeksiyon program dökümünde açıkça belirtildiğinden burada ayrıca bahsedilmemiştir. Program liste ve dökümü EK 3 de verilmişdir.

## BÖLÜM 7

### SONUÇ VE ÖNERİLER

Bu çalışmada iki boyutlu, tek fazlı, yatışkin olmayan bir rezervuarın matematiksel modeli türetilmiş, elde edilen doğrusal olmayan kısmi diferansiyel denklem sonlu farklar metodu ile cebrik eşitliklere dönüştürülmüştür. Cebrik denklem sistemi satırlarda ardışık düzeltmeler yöntemiyle üçköşegenli matris şekline getirilmiş ve bu matris Thomas yöntemiyle çözülmüştür. Nümerik modelin FORTRAN IV dilinde bilgisayar programı yazılmış ve bu program IBM 4341 sisteminde birer aylık zaman aralıklarıyla bir yıl için çalıştırılmıştır.

Program dökümünden görüldüğü gibi her bir zaman aralığında istenilen toleranstaki basınç dağılımına yaklaşık 80-90 iterasyonda ulaşılmıştır. Bu programda ardışık düzeltmeler faktörünün optimum değeri bulunamadığı için  $w = 1,2$  değeri alınmış ve satırlarda ardışık düzeltmeler yöntemi  $w$  nin bu değeriyle uygulanmıştır. Uygun seçilebilecek bir optimum  $w$  değeriyle 80-90 iterasyonun daha da aşağı düşebilecegi sanılmaktadır.

Kütle denkliği ilk 10 ayda ilk uygulamada sağlanmış son iki ayda, ikinci uygulamalarda sağlanabilmiştir.

Program basınç dağılımı ve kütle denkliğinde istenilen toleranslarda başarıyla çalıştırılmıştır.

Bu model ve program değişik koordinatlara, çok fazlı rezervuar sistemlerine ve gerçek rezervuarlara uygulanması

için daha da geliştirilmelidir. Ayrıca optimum düzeltme faktörü,  $w$  nin program içinde hesaplanması için değişik yöntemler denenmelidir.

## EK 1

## THOMAS YÖNTEMİ

Bu yöntem sonlu farklar yöntemi ile elde edilen üç köşegenli matrisin çözümünde kullanılmıştır. Yöntem, aşağıda görülen üç köşegenli matrisin çözümüne uygulanarak açıklanacaktır.

$$\left| \begin{array}{ccc|c} B_1 & C_1 & 0 & x_1 \\ A_2 & B_2 & C_2 & x_2 \\ 0 & A_3 & B_3 & x_3 \end{array} \right| = \left| \begin{array}{c} D_1 \\ D_2 \\ D_3 \end{array} \right|$$

$$w_1 = C_1/B_1 , \quad g_1 = D_1/B_1$$

$$w_2 = \frac{C_2}{B_2 - w_1 A_2} , \quad g_2 = \frac{D_2 - g_1 A_2}{B_2 - w_1 A_2} \quad \text{olarak tanımlanırsa}$$

matris sistemi

$$\left| \begin{array}{ccc|c} 1 & w_1 & 0 & x_1 \\ 0 & 1 & w_2 & x_2 \\ 0 & 0 & 1 & x_3 \end{array} \right| = \left| \begin{array}{c} g_1 \\ g_2 \\ g_3 \end{array} \right|$$

şeklini alır ve sırasıyla  $x_3$ ,  $x_2$  ve  $x_1$  bilinmeyenleri hesaplanır.

Yöntem genel olarak n bilinmeyenli üç köşegenli matris sistemi için yazılırsa;

$$x_n = g_n$$

$$x_i = g_i - w_i x_{i+1} , \quad i = n-1, n-2, n-3, \dots$$

$i = 2, 3, \dots, n$  olmak üzere

$$w_i = \frac{c_i}{b_i - a_i w_{i-1}}$$

$$g_i = \frac{d_i - a_i g_{i-1}}{b_i - a_i w_{i-1}}$$

olarak bulunur.

## EK 2

## TRANSMİSSİBİLİTE TERİMLERİNİN HESAPLANMASI

X yönündeki transmissibilitelerin hesaplanması: seçilen rezervuar sistemi blok merkezli rezervuar sistemi olduğundan, transmissibiliter blokların ortalarından diğer bloklara olan geçirgenliği ifade ettiklerinden;

$$T_x_{i \pm 1/2, j} = \frac{\Delta y \cdot h \cdot K_x}{\Delta x} \cdot \frac{1}{\mu_B} \Big|_{i \pm 1/2, j} = C_x_{i \pm 1/2, j} \frac{1}{\mu_B} \Big|_{i \pm 1/2, j}$$

Y yönündeki transmissibilitelerin hesaplanması:

$$T_y_{i, j \pm 1/2} = \frac{\Delta x \cdot h \cdot K_y}{\Delta y} \cdot \frac{1}{\mu_B} \Big|_{i, j \pm 1/2} = C_y_{i, j \pm 1/2} \frac{1}{\mu_B} \Big|_{i, j \pm 1/2}$$

Cx ve Cy terimleri iki blok arasındaki geçiş gösterdiklerinden bu iki blok geçirgenliklerinin harmonik ortalaması alınarak hesaplanmıştır.

$$C_x_{i \pm 1/2, j} = 2 (C_x^{-1}_{i \pm 1, j} + C_x^{-1}_{i, j})^{-1}$$

$$C_y_{i, j \pm 1/2} = 2 (C_y^{-1}_{i, j \pm 1} + C_y^{-1}_{i, j})^{-1}$$

$\frac{1}{\mu_B} \Big|_{i \pm 1/2, j}$  terimlerindeki vızkotize ve hacimsel oluşum faktörü iki bloğun eski ve yeni basınç ortalamalarından hesaplanmıştır.

## EK 3

## BİLGİSAYAR PROGRAMI LİSTESİ VE DÖKÜMÜ

YAVUZ CABBAR

```

C *****
C *
C * BU ANA PROGRAMDA SIMULASYON BASLATILIR. GEREKLİ ALT PROGRAM-
C * LAR CAGRILIR, DOGRU OLARAK BULUNAN YENİ ZAMAN INTERVALINDEKİ *
C * YENİ BASINC DAGILIMI BIR ONCEKİ BASINC DAGILIMINA ESITLENİR. *
C * ZAMANI, ALINAN ZAMAN DILİMİ KADAR ARTTIRIP AYNI ISLEMLER YA-
C * PILIR. SIMULE EDILECEK ZAMAN SONA ERDIGİNDE PROGRAM DURDURU-
C * LUR.
C *
C *****
C
1   REAL*8 PN(9,9)
2   COMMON/ARRAY1/P0(9,9),IND(9,9)
3   COMMON/BLOCK1/IE,JE
4   COMMON/CONS3/SUMT,TOTIME,DT,IPASS,LIMIT
5   COMMON/ALL/NDEBUG
6   COMMON/WELLS/WELL(20,10),NTS,NW,NDT
C
C ARA BASAMAKLARDAKI HESAP SONUCLARI YAZDIRILMAK
C ISENIRSE NDEBUG=1, AKSI HALDE NDEBUG=0
C
7   NDEBUG=0
C SIMULASYON ZAMANINI BASLAT
8   SUMT=0.0
C VERILER VE ZAMANA BAGLI OLMAYAN ALT PROGRAMLARI CAGIR
9   CALL VERI(PN)
10  CALL SABIT(PN)
11  NTS=0
12  1 SUMT=SUMT+DT
13  NTS=NTS+1
14  CALL INURET(PN)
C MADDE DENKLIGI TEST SAYACINI BASLAT
15  IPASS=0
16  5 CONTINUE
17  CALL KATSAY(PN)
18  CALL COZUM(PN)
19  IPASS=IPASS+1
20  CALL MATBAL(IGO,PN)
C MADDE DENKLIGI YETERLİ SAYIDA TEST EDILDIGI HALDE HALA
C SAGLANAMADI ISE YENİ ZAMAN INTERVALINE GEC
21  IF(IPASS.EQ.LIMIT) IGO=1
22  IF(IGO.EQ.1) GO TO 10
23  GO TO 5
24
25  10 CONTINUE
C BU ZAMAN INTERVALINDEKİ SONUCLARI YAZDIR
26  CALL CIKTI(PN)
27  DO 15 J=1,JE
28  DO 15 I=1,IE
29  IF(IND(I,J).EQ.0) GO TO 15
C BU ZAMAN DILİMİNDE HESAPLANAN BASINC DAGILIMINI BIR
C SONRAKİ ZAMAN DILİMİNDE BASLANGIC BASINC DAGILIMINA ESITLE
30  P0(I,J)=PN(I,J)
31  15 CONTINUE
C SIMULASYON ZAMANININ SONA ERIP ERMEDIGINI TEST ET
32  IF(SUMT.GE.TOTIME) GO TO 2
33  GO TO 1
34  2 STOP
35  END

```

```

1      SUBROUTINE VERI(PN)
C
C ***** BU ALT PROGRAMDA RESERVUARLA ILGILI VERILER OKUNUR VE YAZDI-
C * RILIR. REZERVUARIN HERHANGI BIR OZELLIGI HER Yerde AYNI ISE
C * BU OZELLIK TEK BIR SABIT OLARAK OKUTULUR VE BIR DO DONGUSU
C * ILE HER Yerde ESIT KILINIR. AKSI HALDE VERILER HERBIR BLOK
C * ICIN AYRI AYRI OKUTULUR.
C *
C *****

2      REAL *8 PN(9,9)
3      COMMON/ARRAY1/PJ(9,9),IND(9,9)
4      COMMON/BLOCK1/IE,JE
5      COMMON/WELLS/WELL(20,10),NTS,NW,NDT
6      COMMON/BLOCK3/MAXIT,TOLP,TOLM
7      COMMON/CONS1/VISMIN,VISMAX,PMIN,PMAX
8      COMMON/CONS2/CR,C,PINIT,BZERO,PZERO
9      COMMON/BLOCK4/AKK(9,9),AKY(9,9),H(9,9),DX(9),DY(9)
10     COMMON/CONS3/SUMT,TOTIME,DT,IPASS,LIMIT
11     COMMON/ARRAY4/PJR(9,9),Q(9,9),VB(9,9)

C      VERILERIN OKUTULUP YAZDIRILMASI
C
12    READ(5,100) IE,JE,NW,NDT,LIMIT,MAXIT
13    READ(5,100) IDX, IDY, IH, IPOR, IKX, IKY, IPO
14    READ(5,105) TOTIME, TOLP, TOLM, TOLINT, DT, CR, C
15    READ(5,105) PZERO, BZERO, VISMIN, VISMAX, PMIN, PMAX, PINIT

16    WRITE(6,201) IE,JE,LIMIT,MAXIT,NW,NDT
17    WRITE(6,202) IDX, IDY, IH, IPOR, IKX, IKY, IPO
18    WRITE(6,203) TOTIME, TOLP, TOLM, TOLINT, DT
19    WRITE(6,204) CR,C,BZERO,VISMIN,VISMAX,PMIN,PMAX,PZERO,PINIT
20    WRITE(6,205)

C      REZERVUAR DUZENINI OKUT VE YAZDIR
C      IND(I,J)=0, OLAN BLOKLAR REZERVUAR DISI
C      IND(I,J)=1, KUYU BULUNAN BLOKLAR
C      IND(I,J)=-1, REZERVUAR SINIRLARI ICINDEKI BLOKLAR

21    DO 1 J=1,JE
22    READ(5,100)(IND(I,J),I=1,IE)
23    WRITE(6,300)(IND(I,J),I=1,IE)
24    1  CONTINUE
C      X YONUNDEKI BLOK UZUNLJKLARI FARKLI
25      IF(IDX.EQ.1) GO TO 2
26      READ(5,105)(DX(I),I=1,IE)
27      WRITE(6,210)
28      WRITE(6,305)(DX(I),I=1,IE)
29      GO TO 4
C      X YONUNDEKI BLOK UZUNLJKLARI AYNI
30      2  READ(5,105)ADX
31      WRITE(6,210)

```

```

32      DO 3 I=1,IE
33      DX(I)=0.0
34      DX(I)=ADX
35 3   CONTINUE
36      WRITE(6,305) (DX(I),I=1,IE)
C Y YONUNDEKI BLOK UZUNLJKLARI FARKLI
37 4   IF(IDY.EQ.1) GO TO 5
38      READ(5,105) (DY(J),J=1,JE)
39      WRITE(6,215)
40      WRITE(6,305) (DY(J),J=1,JE)
41      GO TO 7
C Y YONUNDEKI BLOK UZUNLJKLARI AYNI
42 5   READ(5,105) ADY
43      WRITE(6,215)
44      DO 6 J=1,JE
45      DY(J)=0.0
46      DY(J)=ADY
47 6   CONTINUE
48      WRITE(6,305) (DY(J),J=1,JE)
C BLOK YJKSEKLICKLERI FARCLI
49 7   IF(IH.EQ.1) GO TO 10
50      WRITE(6,220)
51      DO 9 J=1,JE
52      READ(5,105) (H(I,J),I=L,IE)
53      WRITE(6,305) (H(I,J),I=1,IE)
54 9   CONTINUE
55      GO TO 13
C BLOK YJKSEKLICKLERI AYNI
56 10  READ(5,105) AH
57      WRITE(6,220)
58      DO 12 J=1,JE
59      DO 11 I=1,IE
60      H(I,J)=0.0
61      IF(IND(I,J).EQ.0) GO TO 11
62      H(I,J)=AH
63 11  CONTINUE
64      WRITE(6,305) (H(I,J),I=1,IE)
65 12  CONTINUE
C BLOK POROZITELERI FARKLI
66 13  IF(IPDR.EQ.1) GO TO 15
67      WRITE(6,225)
68      DO 14 J=1,JE
69      READ(5,105) (POR(I,J),I=1,IE)
70      WRITE(6,305) (POR(I,J),I=1,IE)
71 14  CONTINUE
72      GO TO 18
C BLOK POROZITELERI AYNI
73 15  READ(5,105) APOR
74      WRITE(6,225)
75      DO 17 J=1,JE
76      DO 16 I=1,IE
77      POR(I,J)=0.0
78      POR(I,J)=APOR
79 16  CONTINUE
80      WRITE(6,305) (POR(I,J),I=1,IE)
81 17  CONTINUE

```

```

C X YONUNDEKI PERMEABILITELER FARKLI
82 18 IF(IKX.EQ.1) GO TO 20
83      WRITE(6,230)
84      DO 19 J=1,JE
85      READ(5,105) (AKX(I,J),I=1,IE)
86      WRITE(6,305) (AKX(I,J),I=1,IE)
87 19 CONTINUE
88      GO TO 23
C X YONUNDEKI PERMEABILITELER AYNI
89 20 READ(5,105) AAKX
90      WRITE(6,230)
91      DO 22 J=1,JE
92      DO 21 I=1,IE
93      AKX(I,J)=0.0
94      IF(IND(I,J).EQ.0) GO TO 21
95      AKX(I,J)=AAKX
96 21 CONTINUE
97      WRITE(6,305) (AKX(I,J),I=1,IE)
98 22 CONTINUE
C Y YONUNDEKI PERMEABILITELER FARKLI
99 23 IF(IKY.EQ.1) GO TO 25
00      WRITE(6,235)
01      DO 24 J=1,JE
02      READ(5,105) (AKY(I,J),I=1,IE)
03      WRITE(6,305) (AKY(I,J),I=1,IE)
04 24 CONTINUE
05      GO TO 28
C Y YONUNDEKI PERMEABILITELER AYNI
06 25 READ(5,105) AAKY
07      WRITE(6,235)
08      DO 27 J=1,JE
09      DO 26 I=1,IE
10      AKY(I,J)=0.0
11      IF(IND(I,J).EQ.0) GO TO 26
12      AKY(I,J)=AAKY
13 26 CONTINUE
14      WRITE(6,305) (AKY(I,J),I=1,IE)
15 27 CONTINUE
C BASLANGICTAKI BASINC DAGILIMI FARKLI
16 28 IF(IP0.EQ.1) GO TO 30
17      WRITE(6,240)
18      DO 29 J=1,JE
19      READ(5,105) (PO(I,J),I=1,IE)
20      WRITE(6,305) (PO(I,J),I=1,IE)
21 29 CONTINUE
22      GO TO 33
C BASLANGICTAKI BASINC DAGILIMI AYNI
23 30 READ(5,105) APO
24      WRITE(6,240)
25      DO 32 J=1,JE
26      DO 31 I=1,IE
27      PO(I,J)=0.0
28      IF(IND(I,J).EQ.0) GO TO 31
29      PO(I,J)=APO
30 31 CONTINUE
31      WRITE(6,305) (PO(I,J),I=1,IE)

```

```

132      32      CONTINUE
133      33      DD 34 J=1,JE
134      34      DJ 34 I=1,IE
135      35      PN(I,J)=0.0
136      36      IF(IND(I,J).EQ.0) GO TO 34
C   YENİ BASINC DASILIMINI ESKI BASINC DAGILIMINA ESITLE
137      37      PN(I,J)=P0(I,J)
138      38      CONTINUE
C
C   FORMATLAR
C
139      100     FORMAT(7I10,1I1)
140      105     FORMAT(8F10.4)
141      305     FORMAT(4X,9(1X,F9.3))
142      300     FORMAT(14X,8I5,/)
143      201     FORMAT(////////,1H1,4X,"IE=",12*4X,"JE=",12*5X,"MADDE DENKLIGI LIMIT
*=",12,/,4X,"MAXIMUM ITERASYON SAYISI=",13,4X,"KUVU SAYISI=",12,/,4
*X,"ZAMAN INTERVALLERI SAYISI=",13)
144      202     FORMAT(/,4X,"IDX=",11,4X,"IDY=",11,4X,"IH=",11,3X,"IPDR=",11,3X,"I
*KX=",11,4X,"IKY=",11,4X,"IPO=",11,4X,/)
145      203     FORMAT(/,4X,"TOPLAM SIMULASYON ZAMANI, GUN=",F6.2,/,4X,"BASINCTAKI
*TOLERANS=",F6.2,/,4X,"KUTLE DENKLIGINDEKI TOLERANS=",F6.2,/,4X,"UR
*ETIM = 0 OLDUGU ZAMANKI TOLERANS=",F7.2,/,4X,"ZAMAN DILIMI, GUN=",,
*F6.2,/)
146      204     FORMAT(/,8X,"*FİZİKSEL ÖZELLİKLER*",/,4X,"CR=",F9.7,4X,"C=",F9.7,4
*X,"BZERO=",F5.3,/,4X,"VISMIN=",F5.3,4X,"VISMAX=",F5.3,/,4X,"PMIN=",,
*F5.2,6X,"PMAX=",F7.2,/,4X,"PZERO=",F5.2,5X,"PINIT=",F6.1,/)
147      205     FORMAT(//,,141,2JX,"* RESERVUAR DUZENI *",/)
148      210     FORMAT(//,10X,"* X YONUNDEKI BLOK UZUNLUKLARI, FEET *",/)
149      215     FORMAT(//,10X,"* Y YONUNDEKİ BLOK UZUNLUKLARI, FEET *",/)
150      220     FORMAT(//,20X,"* BLÖK YÜKSEKLİKLERİ, FEET *",/)
151      225     FORMAT(////////,141,25X,"* POROSİTELER *",/)
152      230     FORMAT(/,17X,"* X YONUNDEKİ PERMEABİLİTELER, DARCY *",/)
153      235     FORMAT(/,17X,"* Y YONUNDEKİ PERMEABİLİTELER, DARCY *",/)
154      240     FORMAT(/,15X,"* BASLANGİCTAKI BASINC DAGILIMI, PSIA *",/)
155      245     KETJRN
END

```

## 1 SUBROUTINE SABIT(PN)

C \*\*\*\*\*  
C \*  
C \* BU ALT PROGRAMDA TRANSMISSIBILITELERIN SABIT OLAN, YANI ZA-  
C \* MANIN VE DOLAYSIYLA BASINCIN FONKSİYONU OLmayan KATSAYıLAR  
C \* VE BASLANGIC RESERVI İLE BLOK HACIMLARI HESAPLANIR.  
C \*  
C \*\*\*\*\*

2 REAL \*8 PN(9,9)  
3 DIMENSION CXX(9,9),CYY(9,9)  
4 COMMON/ARRAY1/P0(9,9),IND(9,9)  
5 COMMON/BLOCK1/IE,JE  
6 COMMON/BLOCK4/AKK(9,9),AKY(9,9),H(9,9),DX(9),DY(9)  
7 COMMON/ARRAY4/P0R(9,9),Q(9,9),VB(9,9)  
8 COMMON/CONS2/CR,C,PINIT,BZERO,PZERO  
9 COMMON/ARRAY2/CX(9,9),CY(9,9)  
10 DOUBLE PRECISION BO

C

C BLOK HACIMLARI HESABI

11 DO 5 J=1,JE  
12 DO 5 I=1,IE  
13 VB(I,J)=0.0  
14 IF(IND(I,J).EQ.0) GO TO 5  
15 VB(I,J)=DX(I)\*DY(J)\*H(I,J)  
16 5 CONTINUE

C BASLANGIC REZERVI HESABI

17 RESERV=0.0  
18 DO 7 J=1,JE  
19 DO 7 I=1,IE  
20 7 RESERV=RESERV+VB(I,J)\*P0R(I,J)/(BO(PINIT)\*5.615)

C TRANSMISSIBILITELERDEKİ SABIT KATSAYıLARIN HESABI

21 DO 10 J=1,JE  
22 DO 10 I=1,IE  
23 CXX(I,J)=1.127\*AKX(I,J)\*H(I,J)\*DY(J)/DX(I)  
24 CYY(I,J)=1.127\*AKY(I,J)\*H(I,J)\*DX(I)/DY(J)  
25 10 CONTINUE

IA=IE+1

DO 15 J=1,JE

CX(1,J)=0.0

CX(IA,J)=0.0

C CX VE CY TERIMLERININ HESABINDA HARMONIK ORTALAMALAR ALINMISTIR

26 DO 15 I=2,IE  
27 IF(IND(I-1,J).EQ.0.OR.IND(I,J).EQ.0) GO TO 13  
28 CX(I,J)=2.0/(1.0/CXX(I-1,J)+1.0/CXX(I,J))  
29 GO TO 15

13 CX(I,J)=0.0

15 CONTINUE

JA=JE+1

DO 20 I=1,IE

CY(I,1)=0.0

CY(I,JA)=0.0

DO 20 J=2,JE

14 IF(IND(I,J-1).EQ.0.OR.IND(I,J).EQ.0) GO TO 18  
15 CY(I,J)=2.0/(1.0/CYY(I,J-1)+1.0/CYY(I,J))  
16 GO TO 20

18 CY(I,J)=0.0

20 CONTINUE

WRITE(6,502) RESERV

502 FORMAT(//,14X,'BASLANGIC REZERVI=',.F10.1,/)

RETURN

```

1      SUBROUTINE INURET(PN)
C
C ***** *****
C * BU ALT PROGRAMDA BULUNULAN ZAMAN INTERVALINDE KUYULARDAKI *
C * URETİM VE INJEKSIYON OKUTULUR VE YAZDIRILIR. *
C * *****
C ***** *****
C
2      REAL #8 PN(9,9)
3      COMMON/ARRAY1/PJ(9,9),IND(9,9)
4      COMMON/BLOCK1/IE,JE
5      COMMON/ARRAY4/PJR(9,9),Q(9,9),VB(9,9)
6      COMMON/WELLS/WELL(20,10),NTS,NW,NDT
C
C KUYULARDAKİ JRETIM VE INJEKSIYONUN OKUTULMASI
7      DO 10 N=NTS,NTS
8      READ(5,150) (WELL(N,N1),N1=1,NW)
9      10 CONTINUE
10     15 L=0
11     DO 20 J=1,JE
12     DO 20 I=1,IE
13     Q(I,J)=0.0
14     IF(IND(I,J).NE.1) GO TO 20
15     L=L+1
16     Q(I,J)=WELL(NTS,L)
17     20 CONTINUE
18     150 FORMAT(8F10.2)
19     RETURN
20     END

```

```

1      SUBROUTINE KATSAY(PV)
C
C ****
C * BU ALT PROGRAMDA TRANSMISSIBILITELER VE BASINC ESITLIGINDEKI *
C * DEGISKEN KATSAYILAR HESAPLANIR. *
C *
C ****
C
2      REAL #8 PN(9,9)
3      DIMENSION TX(9,9),TY(9,9),GAMMA(9,9),PURN(9,9)
4      COMMON/ARRAY1/PD(9,9),IND(9,9)
5      COMMON/BLOCK1/IE,JE
6      COMMON/ARRAY2/CX(9,9),CY(9,9)
7      COMMON/ARRAY3/B(9,9),D(9,9),E(9,9),F(9,9),H1(9,9),Q1(9,9)
8      COMMON/ARRAY4/PDR(9,9),Q(9,9),VB(9,9)
9      COMMON/ARRAY5/PDRD(9,9)
10     COMMON/CONS2/CR,C,PINIT,BZERO,PZERO
11     COMMON/CONS3/SUMT,TOTIME,DT,IPASS,LIMIT
12     COMMON/A11/VDEBUG
13     COMMON/BLOCK4/AKX(9,9),AKY(9,9),H(9,9),DX(9),DY(9)
14     COMMON/WELLS/WELL(20,10),NTS,NW,NDT
15     DOUBLE PRECISION B,D,E,F,H1,Q1
16     DOUBLE PRECISION BO
C
C X YONUNDEKI TRANSMISSIBILITELERIN HESABI
17     IA=IE+1
18     DO 10 J=1,JE
19       TX(1,J)=0.0
20       TX(IA,J)=0.0
21     DO 10 I=2,IE
22       IF(IND(I-1,J).EQ.0.DR.IND(I,J).EQ.0) TX(I,J)=0.0
23       TX(I,J)=CX(I,J)/(VIS((PO(I,J)+PO(I-1,J)+PN(I,J)+PN(I-1,J))/4.)*BO
24       *(PO(I,J)+PO(I-1,J)+PN(I,J)+PN(I-1,J))/4.))
25   10  CONTINUE
C Y YONUNDEKI TRANSMISSIBILITELERIN HESABI
26     JA=JE+1
27     DO 20 I=1,IE
28       TY(I,1)=0.0
29       TY(I,JA)=0.0
30     DO 20 J=2,JE
31       IF(IND(I,J-1).EQ.0.DR.IND(I,J).EQ.0) TY(I,J)=0.0
32       TY(I,J)=CY(I,J)/(VIS((PO(I,J)+PO(I,J-1)+PN(I,J)+PN(I,J-1))/4.)*BO
33       *(PO(I,J)+PO(I,J-1)+PN(I,J)+PN(I,J-1))/4.))
34   20  CONTINUE
C BASINC ESITLIGININ SAG TARAFININ HESABI
35     DO 30 J=i,JE
36     DO 30 I=1,IE
37       PDRJ(I,J)=0.0
38       PDRN(I,J)=0.0
39       GAMMA(I,J)=0.0
40       IF(IND(I,J).EQ.0) GO TO 30
41       PDRJ(I,J)=PDR(I,J)*(1.+CR*(PO(I,J)-PINIT))
```

```

42      PORN(I,J)=POR(I,J)*(1.+CR*(PN(I,J)-PINIT))
43      GAMMA(I,J)=VB(I,J)*(POR(I,J)*CR/BO(PO(I,J))+PORN(I,J)*C/BZERO)/5.*E
44      *15
45      30  CONTINUE
46      C  BASINC ESITLIGINDEKI DEGISKEN KATSAYILARIN HESABI
47      DD 40 J=1,JE
48      DD 40 I=1,IE
49      B(I,J)=TY(I,J)
50      D(I,J)=TX(I,J)
51      E(I,J)=-(TX(I+1,J)+TX(I,J)+TY(I,J)+TY(I,J+1)+GAMMA(I,J)/DT)
52      F(I,J)=TX(I+1,J)
53      H1(I,J)=TY(I,J+1)
54      Q1(I,J)=-Q(I,J)-GAMMA(I,J)*PO(I,J)/DT
55      40  CONTINUE
56      C  GEREKTIGINDE ARA BASAMAKLARIN YAZDIRILMASI
57      IF(NODEBUG.EQ.0) GO TO 150
58      WRITE(6,499)
59      WRITE(6,500)
60      DO 50 J=1,JE
61      50  WRITE(6,100)(TX(I,J),I=1,IA)
62      WRITE(6,501)
63      DO 50 J=1,JE
64      60  WRITE(6,100)(TY(I,J),I=1,IE)
65      WRITE(6,502)
66      DO 70 J=1,JE
67      70  WRITE(6,100)(GAMMA(I,J),I=1,IE)
68      WRITE(6,503)
69      DO 80 J=1,JE
70      80  WRITE(6,100)(B(I,J),I=1,IE)
71      WRITE(6,504)
72      DO 90 J=1,JE
73      90  WRITE(6,100)(D(I,J),I=1,IE)
74      WRITE(6,505)
75      DO 110 J=1,JE
76      110  WRITE(6,100)(E(I,J),I=1,IE)
77      WRITE(6,506)
78      DO 120 J=1,JE
79      120  WRITE(6,100)(F(I,J),I=1,IE)
80      WRITE(6,507)
81      DO 130 J=1,JE
82      130  WRITE(6,100)(H1(I,J),I=1,IE)
83      WRITE(6,508)
84      DO 140 J=1,JE
85      140  WRITE(6,100)(Q1(I,J),I=1,IE)
86      C
87      C  FORMATLAR
88      499  FORMAT(/,4X,'COEFF ALT PROGRAMINDA HESPLANAN DEGERLER',/)
89      500  FORMAT(/,4X,'X YONUNDEKI PERMEABILITELER:',/)
90      501  FORMAT(/,4X,'Y YONUNDEKI PERMEABILİYELER:',/)
91      502  FORMAT(/,4X,'GAMMA(I,J) TERIMLERİ:',/)
92      503  FORMAT(/,4X,'B(I,J) TERIMLERİ:',/)
93      504  FORMAT(/,4X,'D(I,J) TERIMLERİ:',/)
94      505  FORMAT(/,4X,'E(I,J) TERIMLERİ:',/)
95      506  FORMAT(/,4X,'F(I,J) TERIMLERİ:',/)
96      507  FORMAT(/,4X,'H1(I,J) TERIMLERİ:',/)
97      508  FORMAT(/,4X,'Q1(I,J) TERIMLERİ:',/)
98
99      100  FORMAT(4X,1D(2X,F10.4))
100     150  CONTINUE
101     RETURN
102     END

```

## 1 SUBROUTINE COZUM(PN)

```

C *****
C *
C * BU ALT PROGRAMDA YENI ZAMAN INTERVALDEKI RESERVAAR BASINC *
C * DAGILIMI * LSOR * LINE SUCCESSIVE OVER RELAXATION METODU *
C * KULLANILAKAK HESAPLANIR. BASINC DAGILIMINDA ELDE EDILEN UC *
C * KUSEGENLİ MATRIS (TRIDIAGONAL MATRIX) THOMAS METODU ILE CO-
C * ZULUR.
C * AYRICA BU ALT PROGRAMDA OPTIMUM ITERASYON PARAMETRESI * W0 * *
C * DE HESAPLANIR.
C * EGER BIR SATIRDA SADECE TEK BIR BLOK RESERVAAR SINIRLARI I-
C * CINDE ISE O BLOK RESERVAAR DISI KABUL EDİLEREK HESABA KATIL-
C * MAZ.
C *
C *****
C
2 REAL *8 PN(9,9)
3 DIMENSION AI(9),B1(9),C1(9),D1(9),W1(9),G1(9),PT(9,9)
4 COMMON/ARRAY1/P1(9,9),IND(9,9)
5 COMMON/BLOCK1/IE,JE
6 COMMON/ARRAY3/B(9,9),D(9,9),E(9,9),F(9,9),H1(9,9),Q1(9,9)
7 COMMON/BLOCK3/MAXIT,TOLP,TOLM
8 COMMON/CONS4/PRODDIN,PRODEX,TOPROD,W,NITER,ERROR
9 COMMON/WELLS/WELL(20,10),NTS,NW,NDT
10 COMMON/ARRAY4/P0R(9,9),Q(9,9),VB(9,9)
11 COMMON/BLOCK4/AKX(9,9),AKY(9,9),H(9,9),DX(9),DY(9)
12 DOUBLE PRECISION B,D,E,F,H1,Q1
13 DOUBLE PRECISION PT,W1,G1,A1,B1,C1,D1
14 DOUBLE PRECISION BO
C
C ITERASYONDA KULLANIACAK BASINC DAGILIMINI YENI
C BASINC DAGILIMINA ESITLE
15 DO 1 J=1,JE
16   DO1 I=1,IE
17     PT(I,J)=PN(I,J)
18   1 CONTINUE
19   W=1.2
20   W0PT=0.0
21   DMAX=0.0
22   RH01=0.0
23   NITER=0
24   3 DMAX1=DMAX
25   RH0=RH01
26   4 NITER=NITER+1
27   DMAX=0.0
28   DO 20 J=1,JE
29     JF=J+1
30     J3=J-1
31     IF(J.EQ.1) J3=1
32     IF(J.EQ.JE) JF=J
33     N=0
34   DO 10 I=1,IE

```

```

7   IF(IND(I,J).EQ.0) GO TO 10
8   N=N+1
9   C  KONSEGENLI MATRISIN KATSAYILARINI HESAPLA
0   A1(N)=W*D(I,J)/E(I,J)
1   B1(N)=1.0
2   C1(N)=W*F(I,J)/E(I,J)
3   D1(N)=W*(Q1(I,J)-B(I,J)*PN(I,JB)-H1(I,J)*PT(I,JB))/E(I,J)+(1.-W)*P
4   *T(I,J)
5   IF(I.EQ.IE.OR.IND(I+1,J).EQ.0) GO TO 5
6   GO TO 10
7   C  MATRISI YENI BASINC DAGILIMI ICIN COZ
8   C  COZUMEDE THOMAS METODU KULLANILMISTIR
9   S   IF(N.EQ.1) GO TO 10
0   W1(1)=C1(1)/B1(1)
1   G1(1)=D1(1)/B1(1)
2   DO 7 II=2,N
3   W1(II)=C1(II)/(B1(II)-A1(II)*W1(II-1))
4   G1(II)=(D1(II)-A1(II)*G1(II-1))/(B1(II)-A1(II)*W1(II-1))
5   CONTINUE
6   PN(I,J)=G1(N)
7   IM1=I-1
8   DO 8 II=1,IM1
9   N=N-1
10  IK=IM1-II+1
11  PN(IK,J)=G1(N)-W1(N)*PN(IK+1,J)
12  C  BIR SATIRDA SADECE BIR BLOK VARSA ONU REZERVUAR DISI VARSAY
13  IF(N.EQ.1) GO TO 9
14  8   CONTINUE
15  9   N=0
16  10  CONTINUE
17  20  CONTINUE
18  C  YAKLASIC COZUMEKI MAKSIMUM HATAYI HESAPLA
19  DO 30 J=1,JE
20  DO 30 I=1,IE
21  IF(IND(I,J).EQ.0) GO TO 30
22  DN=ABS(PT(I,J)-PN(I,J))
23  IF(DN.GT.DMAX) DMAX=DN
24  PT(I,J)=PN(I,J)
25  30  CONTINUE
26  C  YAKLASIMIN YETERLI OLUP OLMADIGININ TESTI
27  IF(DMAX.LE.TOLP) GO TO 45
28  C  YETERLI SAYIDA ITERASYON YAPILIP YAPILMADIGININ TESTI
29  IF(NITER.GE.MAXIT) GO TO 45
30  IF(W.EQ.WOPT) GO TO 4
31  GO TO 4
32  35  IF(NITER-1)40,3,40
33  C  OPTIMUM ITERASYON PARAMETRESI #WOPT# NIN HESABI
34  40  RH01=DMAX/DMAX1
35  DIFRH0=ABS(RH01-RHO)
36  IF(DIFRH0.GT.0.0005) GO TO 3
37  RH0G=(RH01+RHO)/2/(W**2*RHO)
38  IF(NITER.GE.MAXIT) GO TO 45
39  IF(RH0G.GE.1.0) GO TO 3
40  WOPT=2.0/(1.+SQRT(1.-RH0G))
41  IF(NITER.GE.MAXIT) GO TO 45
42  W=WOPT
43
44  GO TO 4
45  CONTINUE
46  RETJRN
47  END

```

## SUBROUTINE MATBAL(IGO,PN)

```

1      C
2      C ***** *****
3      C * BU ALT PROGRAMDA IC VE DIS URETIMLER HESAPLANARAK MADDE *
4      C * DENKLIGININ SAGLANIP SAGLANMADIGI KONTROL EDILIR. *
5      C *
6      C ***** *****
7
8      REAL *8 PN(9,9)
9      DIMENSION PDRN(9,9)
10     COMMON/ARRAY1/PD(9,9),IND(9,9)
11     COMMON/BLOCK1/IE,JE
12     COMMON/ARRAY4/PDR(9,9),Q(9,9),VB(9,9)
13     COMMON/ARRAY5/PDRD(9,9)
14     COMMON/COVS2/CR,C,PINIT,BZERO,PZERO
15     COMMON/COVS3/SUMT,TOTIME,DT,IPASS,LIMIT
16     COMMON/COVS4/PRODIN,PRODEX,TOPROD,W,NITER,ERROR
17     COMMON/BLOCK3/MAXIT,TOLP,TOLM
18
19     DOUBLE PRECISION BO
20
21     C DIS URETIM
22     PRODEX=0.0
23     DO 10 J=1,JE
24     DO 10 I=1,IE
25       IF(IND(I,J).EQ.1) PRODEX=PRODEX+Q(I,J)
26 10    CONTINUE
27     C TOPLAM DIS URETIM
28     PROD1=PRODEX
29     TOPROD=PROD1+SUMT
30     PRODEX=PROD1+DT
31
32     C IC URETIM
33     FLN=0.0
34     FLNI=0.0
35     DO 15 J=1,JE
36     DO 15 I=1,IE
37       IF(IND(I,J).EQ.0) GO TO 15
38       FLN=FLN+VB(I,J)*PDRN(I,J)/(BO(PN(I,J))*5.615)
39       PDRN(I,J)=PDR(I,J)*(1.+CR*(PN(I,J)-PINIT))
40       FLNI=FLNI+VB(I,J)*PDRN(I,J)/(BO(PN(I,J))*5.615)
41 15    CONTINUE
42     PRODIN=FLNI-FLN
43     IF(PRODEX.EQ.0.0) GO TO 20
44
45     C MADDE DENKLIGININ SAGLANIP SAGLANMADIGININ TESTI
46     C SAGLANMIYORSA IGO=1
47     C SAGLANMIYORSA IGO=0
48     DMAT=ABS((PRODEX-PRODIN)/PRODEX)
49     IF(DMAT.LE.TOLM) GO TO 30
50     IGO=0
51     RETURN
52 20    IF(PRODIN.LE.100.1) GO TO 30
53     IGO=0
54     RETURN
55
56 30    IGO=1
57     C MADDE DENKLIGINDE YAPILAN % HATA
58     ERROR=100.*DMAT
59     RETURN
60     END

```

```

1      SUBROUTINE CIKTI(PN)
C
C ***** **** * **** * **** * **** * **** * **** * **** * **** * **** *
C   *
C   * BU ALT PROGRAMDA HESAPLANAN YENI RESERVUAR BASINC DAGILIMI,   *
C   * URETIM VE MODEL HAKKINDA GEREKLİ BILGILER YAZDIRILIR.           *
C   *
C ***** **** * **** * **** * **** * **** * **** * **** * **** * **** *
C
2      REAL #B PN(9,9)
3      COMMON/ARRAY1/P(9,9),IND(9,9)
4      COMMON/BLOCK1/IE,JE
5      COMMON/CONS3/SUMT,TOTIME,DT,IPASS,LIMIT
6      COMMON/CONS4/PRDDIN,PRODEX,TOPROD,W,NITER,ERROR
7      COMMON/WELLS/WELL(20,10),NTS,NW,NDT
C
8      WRITE(6,100) SUMT
9      WRITE(6,102)
10     DD 5 N=NTS,NTS
11     WRITE(6,103) (WELL(N,N1),N1=1,NW)
12     S CONTINUE
13     WRITE(6,105) IPASS,NITER,W
14     WRITE(6,110) PRDDIN,PRODEX,TOPROD,ERROR
15     WRITE(6,112)
16     DD 10 J=1,JE
17     10    WRITE(6,115) (PN(I,J),I=1,IE)
C
C FORMATLAR
18     100   FORMAT(/////,1H1,2X,F10.2,5X,*GUN SONRA CIKTI VERILERI*,//)
19     102   FORMAT(9X,*BU ZAMAN ARALIGINDA URETIM/INJEKSIYON*,/)
20     103   FORMAT(4X,9(2X,F8.1))
21     105   FORMAT(/,9X,*COZUM ALGORITMASININ PERFORMANSI*,//9X,*YAPILAN KUTL*
* DEVKLIGININ SAYISI=*,I2,//9X,*BASINC DAGILIMININ HESAPLANMASINDA
* ITERASYON SAYISI=*,I3,//9X,*OPTIMUMM ITERASYON PARAMETRESININ DEG*
* RI=*,F6.4,/)
22     110   FORMAT(/,9X,*NET IC URETIM, VARIL=*,F10.1,//9X,*NET DIS URETIM, V*
* RIL=*,F10.1,//9X,*SIMDIYE KADARKI TOLAM DIS URETIM, VARIL=*,F10.1
* //9X,*% HATA=*,F6.3,/)
23     112   FORMAT(/,15X,*## BASINC DAGILIMI, PSIA **##*,//)
24     115   FORMAT(/,4X,9(1X,F8.1))
25     RETJRN
26     END

```

```
1      FUNCTION VIS(P)
C
C ***** *****
C *          *
C * BU ALT PROGRAMDA AKISKANIN (HAM PETROL) VİSKOZİTESİ BASIN-
C * CIV BİR FONKSİYONU OLARAK HESAPLANIR. *
C *          *
C ***** *****
2      COMMON/CONSL/VISMIN,VISMAX,PMIN,PMAX
3      AC=(VISMIN*PMAX-VISMAX*PMIN)/(PMAX-PMIN)
4      BC=(VISMAX-VISMIN)/(PMAX-PMIN)
5      VIS=AC+BC*P
6      RETJRN
7      END
```

```
1      DOUBLE PRECISION FUNCTION BO(P)
C *****
C * BU ALT PROGRAMDA HACIMSAL OLUSUM FAKTORU ASAGIDAKI ESITLIK-
C * TEV BASINCIN FUNKSIYONU OLARAK HESAPLANIR.
C *
C *****
C
2      COMMON/COVSZ/CR,C,PINIT,BZERO,PZERO
C
3      BO=BZERO*EXP(-C*(P-BZERO))
4      RETJRN
5      END
```

IE= 6      JE= 6      MADDE DENKLIGI LIMIT= 3  
MAXIMJM İTERASYON SAYISI=100      KJYU SAYISI= 4  
ZAMAN INTERVALLERI SAYISI= 12  
IDX=0      IDY=0      IH=0      IPDR=0      IKX=0      IKY=0      IPO=1

TÖPLAM SIMULASYON ZAMANI, GJN=368.40  
BASINCAKİ TOLERANS= 0.10  
KUTLE DENKLIGINDEKİ TOLERANS= 0.02  
URETIM = 0 OLDUGU ZAMANKİ TOLERANS= 100.00  
ZAMAN DILİMİ, GJN= 30.40

\*FİZİKSEL ÖZELLİKLER\*

CR=0.0000000      C=0.0000031      BZERO=1.000  
VISMIN=2.000      VISMAX=3.000  
PMIN=14.70      PMAX=3000.00  
PZERO=14.70      PINIT=3800.0

## \* RESERVJAR DUZENI \*

0	0	-1	-1	-1	-1
-1	-1	-1	-1	1	-1
-1	-1	1	-1	-1	-1
0	-1	-1	-1	-1	0
-1	1	-1	1	-1	0
-1	-1	-1	-1	-1	0

## \* X YONUNDEKI BLOK UZUNLUKLARI, FEET \*

1000.000	600.000	500.000	500.000	800.000	1000.000
----------	---------	---------	---------	---------	----------

## \* Y YONUNDEKI BLOK UZUNLUKLARI, FEET \*

400.000	400.000	400.000	500.000	600.000	600.000
---------	---------	---------	---------	---------	---------

## \* BLOK YUKSEKLIKLERİ, FEET \*

0.000	0.000	40.000	50.000	40.000	35.000
30.000	65.000	80.000	100.000	85.000	45.000
45.000	100.000	145.000	150.000	145.000	45.000
0.000	60.000	100.000	145.000	100.000	0.000
25.000	40.000	60.000	100.000	40.000	0.000
20.000	25.000	30.000	50.000	30.000	0.000

\* P<sub>O</sub>R<sub>O</sub>Z<sub>I</sub>T<sub>E</sub>L<sub>E</sub>R \*

0.220	0.220	0.220	0.230	0.230	0.230
0.220	0.220	0.220	0.230	0.230	0.230
0.220	0.220	0.220	0.230	0.230	0.230
0.270	0.270	0.270	0.250	0.250	0.250
0.270	0.270	0.270	0.250	0.250	0.250
0.270	0.270	0.270	0.250	0.250	0.250

## \* X YONUNDEKI PERMEABILITELER, DARCY \*

0.050	0.050	0.050	0.080	0.080	0.080
0.050	0.050	0.050	0.080	0.080	0.080
0.050	0.050	0.050	0.080	0.080	0.080
0.075	0.075	0.075	0.100	0.100	0.100
0.075	0.075	0.075	0.100	0.100	0.100
0.075	0.075	0.075	0.100	0.100	0.100

## \* Y YONUNDEKI PERMEABILITELER, DARCY \*

0.050	0.050	0.050	0.095	0.095	0.095
0.050	0.050	0.050	0.095	0.095	0.095
0.050	0.050	0.050	0.095	0.095	0.095
0.075	0.075	0.075	0.125	0.125	0.125
0.075	0.075	0.075	0.125	0.125	0.125
0.075	0.075	0.075	0.125	0.125	0.125

## \* BASLANGICTAKI BASINC DAGILIMI, PSIA \*

0.000	0.000	3800.000	3800.000	3800.000	3800.000
3800.000	3800.000	3800.000	3800.000	3800.000	3800.000
3800.000	3800.000	3800.000	3800.000	3800.000	3800.000
0.000	3800.000	3800.000	3800.000	3800.000	0.000
3800.000	3800.000	3800.000	3800.000	3800.000	0.000
3800.000	3800.000	3800.000	3800.000	3800.000	0.000

BASLANGIC RESERVI=28233808.0

## 30-40 GJN SONRA CIKTI VERILERI

BU ZAMAN ARALIGINDA JRETIM/INJEKSIYON

-300.0 -450.0 -100.0 -300.0

COZUM ALGORITMASININ PERFORMANSI

YAPILAN KUTLE DEVKLIGININ SAYISI= 1

BASINC DAGILIMININ HESAPLANMASINDA ITERASYON SAYISI= 80

OPTIMUMM ITERASYON PARAMETRESIVIN DEGERI=1.2000

NET IC URETİM, VARIL= -35280.0

NET DIS URETİM, VARIL= -34960.0

SIMDIYE KADARKI TOLAM DIS URETİM, VARIL= -34960.0

% HATA= 0.915

## \*\*\* BASINC DAGILIMI, PSIA \*\*\*

0.0	0.0	3390.5	3393.6	3385.7	3425.0
3451.3	3404.4	3377.4	3389.7	3373.0	3423.7
3450.4	3396.7	3340.0	3387.6	3393.4	3424.5
0.0	3398.2	3385.3	3390.9	3401.0	0.0
3444.3	3387.8	3390.0	3374.0	3401.6	0.0
3450.5	3416.2	3405.1	3394.6	3407.5	0.0

## 60.80 GUN SONRA CIKTI VERILERI

BU ZAMAN ARALIGINDA URETIM/INJEKSIYON

-300.0 -450.0 -100.0 -300.0

COZUM ALGORITMASININ PERFORMANSI

YAPILAN KUTLE DENKLIGININ SAYISI= 1

BASINC DAGILIMININ HESAPLANMASINDA ITERASYON SAYISI= 83

OPTIMUMM ITERASYON PARAMETRESININ DEGERI=1.2000

NET IC URETIM, VARIL= -35200.0

NET DIS URETIM, VARIL= -34960.0

SIMDIYE KADARKI TOLAM DIS URETIM, VARIL= -69919.9

% HATA= 0.687

## \*\*\* BASINC DAGILIMI, PSIA \*\*\*

0.0	0.0	2986.1	2989.2	2982.0	3022.5
3053.5	3001.6	2973.5	2985.4	2969.7	3021.2
3052.5	2993.9	2937.4	2983.3	2989.4	3021.9
0.0	2994.9	2981.4	2985.7	2996.6	0.0
3046.6	2986.2	2986.4	2970.5	2997.4	0.0
3053.1	3014.9	3001.9	2990.7	3003.3	0.0

## 91.20 GUN SONRA CIKTI VERILERI

BU ZAMAN ARALIGINDA URETIM/INJEKSIYON

-300.0 -450.0 -100.0 -300.0

COZUM ALGORITMASININ PERFORMANSI

YAPILAN KUTLE DEVKLIGININ SAYISI= 1

BASINC DAGILIMININ HESAPLANMASINDA ITERASYON SAYISI= 85

OPTIMUMM ITERASYON PARAMETRESININ DEGERI=1.2000

NET IC URETIM, VARIL= -35168.0

NET DIS URETIM, VARIL= -34960.0

SIMDIYE KADARKI TOLAM DIS URETIM, VARIL= -104879.9

% HATA= 0.595

## \*\*\* BASINC DAGILIMI, PSIA \*\*\*

0.0	0.0	2583.3	2586.2	2579.4	2618.3
2649.0	2598.5	2571.3	2582.6	2567.6	2617.1
2648.1	2591.1	2536.7	2580.6	2586.4	2617.8
0.0	2591.9	2578.8	2583.8	2593.3	0.0
2642.5	2583.8	2583.7	2568.4	2594.0	0.0
2648.8	2611.4	2598.6	2587.7	2599.7	0.0

## 121.60 GUN SONRA CIKTI VERILERI

BU ZAMAN ARALIGINDA URETIM/INJEKSIYON

-300.0 -400.0 -100.0 -300.0

COZUM ALGORITMASININ PERFORMANSI

YAPILAN KUTLE DENKLIGININ SAYISI= 1

BASINC DAGILIMININ HESAPLANMASINDA ITERASYON SAYISI= 88

OPTIMUMM ITERASYON PARAMETRESININ DEGERI=1.2000

NET IC URETIM, VARIL= -33600.0

NET DIS URETIM, VARIL= -33440.0

SIMDIYE KADARKI TOLAM DIS URETIM, VARIL= -133759.9

% HATA= 0.478

## \*\*\* BASINC DAGILIMI, PSIA \*\*\*

0.0	0.0	2200.2	2201.5	2193.4	2229.2
2261.4	2215.0	2190.2	2198.3	2182.1	2228.0
2260.6	2208.3	2160.6	2196.6	2200.2	2228.8
0.0	2207.6	2195.7	2198.8	2206.8	0.0
2252.2	2197.9	2198.2	2183.2	2207.2	0.0
2258.0	2223.4	2211.5	2201.2	2212.3	0.0

## 152.00 GUN SONRA CIKTI VERILERI

BU ZAMAN ARALIGINDA JRETIM/INJEKSIYON

-250.0 -400.0 -100.0 -300.0

COZUM ALGORITMASININ PERFORMANSI

YAPILAN KUTLE DENKLIGININ SAYISI= 1

BASINC DAGILIMININ HESAPLANMASINDA ITERASYON SAYISI= 90

OPTIMUMM ITERASYON PARAMETRESININ DEGERI=1.2000

NET IC URETIM, VARIL= -31984.0

NET DIS URETIM, VARIL= -31920.0

SIMDIYE KADARKI TOLAM DIS URETIM, VARIL= -159599.9

% HATA= 0.201

## \*\*\* BASINC DAGILIMI, PSIA \*\*\*

0.0	0.0	1832.9	1835.6	1831.6	1863.5
1887.5	1844.9	1822.8	1832.3	1822.2	1862.4
1886.7	1838.4	1794.1	1829.9	1836.0	1862.8
0.0	1837.6	1827.2	1831.1	1840.4	0.0
1877.5	1827.6	1829.0	1815.4	1839.3	0.0
1882.9	1851.4	1841.1	1832.1	1843.4	0.0

## 182.40. GJN SONRA CIKTI VERILERI

BU ZAMAN ARALIGINDA URETIM/INJEKSIYON

-250.0 -400.0 250.0 -200.0

COZUM ALGORITMASININ PERFORMANSI

YAPILAN KUTLE DENKLIGININ SAYISI= 1

BASINC DAGILIMININ HESAPLANMASINDA ITERASYON SAYISI= 84

OPTIMUMM ITERASYON PARAMETRESININ DEGERI=1.2000

NET IC URETIM, VARIL= -18240.0

NET DIS URETIM, VARIL= -18240.0

SIMDIYE KADARKI TOLAM DIS URETIM, VARIL= -109439.9

% HATA= 0.000

## \*\*\* BASINC DAGILIMI, PSIA \*\*\*

0.0	0.0	1607.4	1608.5	1599.8	1621.4
1655.3	1627.3	1601.8	1607.8	1592.5	1620.9
1655.4	1628.6	1579.8	1609.4	1608.1	1621.8
0.0	1651.9	1622.4	1617.4	1616.6	0.0
1733.0	1724.8	1649.1	1616.8	1622.5	0.0
1729.0	1702.7	1658.3	1631.6	1629.4	0.0

## 212.80 GUN SONRA CIKTI VERILERI

BU ZAMAN ARALIGINDA URETIM/INJEKSIYON

-250.0 -250.0 250.0 -200.0

COZUM ALGORITMASININ PERFORMANSI

YAPILAN KUTLE DENKLIGININ SAYISI= 1

BASINC DAGILIMININ HESAPLANMASINDA ITERASYON SAYISI= 81

OPTIMUMM ITERASYON PARAMETRESININ DEGERI=1.2000

NET IC URETIM, VARIL= -13616.0

NET DIS URETIM, VARIL= -13680.0

SIMDIYE KADARKI TOLAM DIS URETIM, VARIL= -95759.9

% HATA= 0.468

## \*\*\* BASINC DAGILIMI, PSIA \*\*\*

0.0	0.0	1455.2	1451.7	1437.9	1453.1
1495.9	1476.1	1453.9	1451.9	1431.3	1452.9
1496.2	1479.0	1442.4	1454.5	1447.0	1454.0
0.0	1499.6	1471.0	1460.8	1455.9	0.0
1578.3	1570.0	1493.2	1459.0	1461.8	0.0
1573.9	1546.7	1500.7	1472.7	1468.3	0.0

## 243.20 GUN SONRA CIKTI VERILERI

BU ZAMAN ARALIGINDA URETIM/INJEKSIYON

-250.0 -250.0 250.0 -200.0

COZUM ALGORITMASININ PERFORMANSI

YAPILAN KUTLE DENKLIGININ SAYISI= 1

BASINC DAGILIMININ HESAPLANMASINDA ITERASYON SAYISI= 82

OPTIMUMM ITERASYON PARAMETRESININ DEGERI=1.2000

NET IC URETIM, VARIL= -13616.0

NET DIS URETIM, VARIL= -13680.0

SIMDIYE KADARKI TOLAM DIS URETIM, VARIL= -109439.9

% HATA= 0.468

\*\*\* BASINC DAGILIMI, PSIA \*\*\*

0.0	0.0	1299.0	1295.3	1281.3	1295.4
1339.1	1319.9	1298.0	1295.6	1274.9	1295.2
1339.4	1322.7	1286.7	1298.1	1290.4	1296.3
0.0	1342.9	1314.6	1304.3	1299.1	0.0
1420.3	1411.9	1336.3	1302.6	1304.9	0.0
1415.9	1389.0	1343.5	1315.9	1311.3	0.0

## 273.60 GUN SONRA CIKTI VERILERI

BU ZAMAN ARALIGINDA URETIM/INJEKSİYON

-200.0 -250.0 250.0 -200.0

COZUM ALGORITMASININ PERFORMANSI

YAPILAN KUTLE DENKLIGININ SAYISI= 1

BASINC DAGILIMININ HESAPLANMASINDA ITERASYON SAYISI= 81

OPTIMUMM ITERASYON PARAMETRESİNİN DEGERI=1.2000

NET IC URETIM, VARIL= -12064.0

NET DIS URETIM, VARIL= -12150.0

SIMDIYE KADARKI TOLAM DIS URETIM, VARIL= -109439.9

% HATA= 0.789

## \*\*\* BASINC DAGILIMI, PSIA \*\*\*

0.0	0.0	1160.3	1158.0	1147.7	1159.6
1196.0	1178.7	1158.7	1158.0	1142.7	1159.4
1196.2	1181.5	1147.3	1159.8	1154.8	1160.2
0.0	1201.2	1174.3	1165.1	1161.6	0.0
1275.1	1268.2	1195.1	1162.8	1166.1	0.0
1270.7	1245.4	1201.8	1175.4	1171.6	0.0

## 304.00 GUN SONRA CIKTI VERILERI

BU ZAMAN ARALIGINDA URETIM/INJEKSIYON

-200.0 -250.0 250.0 -200.0

COZUM ALGORITMASININ PERFORMANSI

YAPILAN KUTLE DENKLIGININ SAYISI= 1

BASINC DAGILIMININ HESAPLANMASINDA ITERASYON SAYISI= 82

OPTIMUMM ITERASYON PARAMETRESININ DEGERI=1.2000

NET IC URETIM, VARIL= -12112.0

NET DIS URETIM, VARIL= -12160.0

SIMDIYE KADARKI TOLAM DIS URETIM, VARIL= -121599.9

% HATA= 0.395

## \*\*\* BASINC DAGILIMI, PSIA \*\*\*

0.0	0.0	1021.5	1019.4	1009.5	1021.3
1055.9	1039.3	1019.9	1019.4	1004.6	1021.1
1056.2	1042.0	1008.7	1021.1	1016.3	1021.9
0.0	1061.4	1035.2	1026.3	1023.0	0.0
1133.4	1127.0	1055.5	1023.9	1027.2	0.0
1129.1	1104.6	1062.0	1036.2	1032.6	0.0

## 334.40 GUN SONRA CIKTI VERILERI

BU ZAMAN ARALIGINDA URETIM/INJEKSIYON

-200.0 -250.0 250.0 0.0

COZUM ALGORITMASININ PERFORMANSI

YAPILAN KUTLE DENKLIGININ SAYISI= 2

BASINC DAGILIMININ HESAPLANMASINDA ITERASYON SAYISI= 5

OPTIMUMM ITERASYON PARAMETRESININ DEGERI=1.2000

NET IC URETIM, VARIL= -5968.0

NET DIS URETIM, VARIL= -6080.0

SIMDIYE KADARKI TOLAM DIS URETIM, VARIL= -66879.9

% HATA= 1.842

## \*\*\* BASINC DAGILIMI, PSIA \*\*\*

0.0	0.0	948.2	947.2	936.5	944.3
974.3	963.6	947.3	948.5	932.7	944.4
974.7	967.4	938.0	952.3	945.6	945.5
0.0	989.1	967.1	961.9	954.8	0.0
1055.8	1055.7	993.3	973.2	964.1	0.0
1051.5	1034.0	998.9	979.3	970.4	0.0

364.80      GJN SONRA CIKTI VERILERI

BU ZAMAN ARALIGINDA URETIM/INJEKSIYON

-200.0    -250.0    250.0    0.0

COZUM ALGORITMASININ PERFORMANSI

YAPILAN KUTLE DENKLIGININ SAYISI= 2

BASINC DAGILIMININ HESAPLANMASINDA ITERASYON SAYISI= 5

OPTIMUMM ITERASYON PARAMETRESININ DEGERI=1.2000

NET IC URETIM, VARIL= -6000.0

NET DIS URETIM, VARIL= -6080.0

SIMDIYE KADARKI TOLAM DIS URETIM, VARIL= -72959.9

% HATA= 1.316

\*\*\* BASINC DAGILIMI, PSIA \*\*\*

0.0	0.0	879.1	878.3	867.6	874.8
903.5	894.0	878.2	879.5	863.8	874.9
903.9	897.8	869.1	883.5	876.8	876.0
0.0	919.7	898.2	893.2	886.0	0.0
985.2	985.8	924.4	904.7	895.5	0.0
981.0	964.3	930.1	910.8	901.9	0.0

## REFERANSLAR

1. BIRD, R.B., STEWARD, W.E. and LIGHFOOT, E.N.  
Transport Phenomena. J. Wiley and Sons, New York (1960).
2. SCHLIGHTING, N.  
Boundary Layer Theory, 6th edn., Mc Graw-Hill, New York (1968).
3. MONIN, A.S. and YAGLOM, A.M.  
Statistical Fluid Mechanis: Mechanics of Turbulance,  
MIT Press, Cambridge, Mass (1981).
4. BENNETT, C. O. and MYERS, J.E.  
Momentum, Heat, and Mass Transfer, Mc Graw Hill,  
New York (1962)
5. DARCY, H.  
Les Fontaines Publiques de la Ville de Dijon, Dalmount,  
Paris (yeni baskı Hubbert, 1969) (1856)
6. MUSKAT, M.  
Flow of Homogeneous Fluids Through Porous Media,  
Mc Graw-Hill, New York (1937)
7. PALUBARİNOVA - KOCHİNA, P.Ya.  
Theory of Ground Water Movement, çeviren J.M. Roger de  
Wiest, Princeton University Press, New Jersey (1962).
8. SCHEIDECKER, A.E.  
Physics of Flow Through Porous Media, 3rd edn.,  
University of Toronto Press, Toronto (1974).

9. COLLINS, R.E.  
Akışkanların Gözenekli Ortamdaki Akışı, Çeviren Tuncay Saydam, Çağlayan Basımevi, İstanbul (1973)
10. AMYX, J.W., BASS, D.M.JR., and WHITING, R.L.  
Petroleum Reservoir Engineering: Physical Properties, Mc Graw-Hill (1960).
11. BEAR, J.  
Dynamics of Fluids in Porous Media, American Elsevier, New York (1972).
12. ERCB.  
The Theory and Practice of the Testing of Gas Wells, 3rd edn., Energy Resources Conservation Board (1975).
13. AZİZ, K. and SETTARI, A.  
Petroleum Reservoir Simulation. Applied Science Publishers, London (1979)
14. CRICHLOW, H.B.  
Modern Reservoir Engineering. Prentice-Hall, Inc., New Jersey (1977).
15. PEACEMAN, D.W.  
Fundamentals of Numerical Reservoir Simulation. American Elsevier, New York (1977).
16. EL-KHATİP, N.A.T.  
A General Mathematical Model For Oil Recovery Processes, Özel Haberleşme, Petroleum Engineering Department University of Riyad, Saudi Arabia (1984).

17. GOCHNOUR, J.R.  
A Two Dimensional, Three Phase Reservoir Simulation,  
Ph.D.Thesis, Pittsburg University, USA (1978).
18. DAHIQUIST, G. and BJORK, A.  
Numerical Methods, Translated by N. Anderson. Prentice-Hall, Inc., New Jersey (1974)
19. SHAMPINE, L.F. and ALLEN, JR.R.L.  
Numerical Computing: an introduction W.B. Saunders Company, Philadelphia (1973).
20. GOULT, R.J. and at all.  
Computational Methods in Linear Algebra. John Wiley and Sons, New York (1974).
21. CARRE, B.D.  
The determination of the optimum accelerating factor for successive overrelaxation, Compt.J., 4, pp.73-8 (1961).
22. REID, J.K.  
A method for finding optimum successive overrelaxation factor, Comt.J., 9, pp.200-4 (1966).
23. YOUNG, D.M.  
Iterative Solution of Large Linear Systems, Academic Press, New York (1971).